

بِسْمِ اللَّهِ الرَّحْمَنِ الرَّحِيمِ



دانشکده عمران و معماری  
گروه عمران

## مدل سازی ریاضی ضربه قوچ در لوله های ویسکوالاستیک

دانشجو : آرش غفاریان کلاهی

استاد راهنما :

دکتر احمد احمدی

استاد مشاور :

دکتر علیرضا کرامت

پایان نامه ارشد جهت اخذ درجه کارشناسی ارشد

شهریور ۱۳۹۲

## تقدیم به:

روح پاک مادرم، آنکه آفتاب مرش در آستانه قلبم، همچنان پا بر جاست و هرگز غروب نخواهد کرد.  
و پدرم، که نمی دانم از بزرگی اش بگویم یا مردانگی سخاوت، سکوت، همراهانی و... .

پدرم راه تمام زندگیست

پدرم دنخوشی همیشگیست

## **تقدیر و تشکر**

وظیفه خود می دانم از تمام سرورانی که در این مدت تحصیل از محضر مبارکشان کسب فیض نموده  
ام تشکر و سپاسگزاری نمایم. از استاد ارجمند جناب آقای دکتر احمد احمدی بخاطر هدایت های  
آگاهانه و عالمنه اشان که در تمام مراحل پیشرفت این تحقیق راهنمای و مشکل گشا بوده اند. از استاد  
ارجمند جناب آقای دکتر علیرضا کرامت که همواره از راهنماییهای ارزشمندشان برخوردار بوده ام.

## تعهد نامه

اینجانب آرش غفاریان کلاهی دانشجوی دوره کارشناسی ارشد رشته مهندسی عمران - گرایش سازه های هیدرولیکی  
دانشکده عمران و معماری دانشگاه صنعتی شاهرود نویسنده پایان نامه مدل سازی ریاضی ضربه قوچ در لوله های  
ویسکوالاستیک تحت راهنمائی دکتر احمد احمدی متعهد می شوم:

- تحقیقات در این پایان نامه توسط اینجانب انجام شده و از صحت و اصالت برخوردار است.
- در استفاده از نتایج پژوهش‌های محققان دیگر به مرجع مورد استفاده استناد شده است.
- مطالب مندرج در پایان نامه تا کنون توسط خود یا فرد دیگری برای دریافت هیچ نوع مدرکی یا امتیازی در هیچ جا ارائه نشده است.
- کلیه حقوق معنوی این اثر متعلق به دانشگاه صنعتی شاهرود می باشد و مقالات مستخرج با نام <> دانشگاه صنعتی شاهرود<> و یا <>shahrood university of technology<> به چاپ خواهد رسید.
- حقوق معنوی تمام افراد که در به دست آوردن نتایج اصلی پایان نامه تاثیر گذار بوده اند در مقالات مستخرج از پایان نامه رعایت شده است.
- در کلیه مراحل انجام این پایان نامه، در مواردی که از موجود زنده (یا بافت‌های آنها) استفاده شده است ضوابط و اصول اخلاقی رعایت شده است.
- در کلیه مراحل انجام این پایان نامه، در مواردی که به حوزه اطلاعات شخصی افراد دسترسی یافته یا استفاده شده است اصل رازداری ، ضوابط و اصول اخلاقی انسانی رعایت شده است.
- 

تاریخ: ۱۳۹۲/۰۶/۲۶

امضا دانشجو

### مالکیت نتایج و حق و نشر

- کلیه حقوق معنوی این اثر و محصولات آن (مقالات مستخرج ، کتاب، برنامه های رایانه ای، نرم افزارها و تجهیزات ساخته شده است) متعلق به دانشگاه صنعتی شاهرود می باشد. این مطلب باید به نحوی مقتضی در تولیدات علمی مربوطه ذکر شود.
- استفاده از اطلاعات و نتایج موجود در پایان نامه / رساله بدون ذکر مرجع مجاز نمی باشد.

## چکیده

مدل سازی ریاضی در سیستمهای لوله، که در آن، رفتار دینامیکی سیستم لوله به علت پدیده ضربه قوچ مورد بررسی قرار می‌گیرد، در سالهای اخیر مورد بررسی قرار گرفته است. همچنین نظر به محاسبن فراوان لوله‌های ویسکوالاستیک، استفاده از اینگونه لوله‌ها در بخش‌های متعدد صنعت و بخصوص در سیستم‌های لوله‌گذاری به سرعت رو به افزایش است. در مواد ویسکوالاستیک، در اثر بارگذاری وارد بر آنها، یک تغییر شکل اضافی (تاخیری)، علاوه بر تغییر شکل ایجاد شده، بلافصله پس از بارگذاری ایجاد می‌شود. مدل‌های ریاضی ارائه شده پیشین در مطالعه ضربه قوچ در لوله‌های ویسکوالاستیک، نسبت پواسن را نیز ثابت فرض می‌کردند. در حالیکه در مدل ریاضی اصلاح شده حاضر، نسبت پواسن لوله نسبت به زمان متغیر در نظر گرفته می‌شود.

در این پژوهش، نخست، معادلات دیفرانسیل جزئی حاکم بر ضربه قوچ در یک سیستم لوله ساخته شده از مواد ویسکوالاستیک معرفی می‌گردد. استخراج این معادلات با فرض متغیر بودن نسبت پواسن لوله نسبت به زمان، ثابت بودن مدول بالک لوله و نازک بودن جداره لوله صورت می‌گیرد. از دید فیزیکی، در یک مساله ضربه قوچ، رفتار ویسکوالاستیک منجر به ایجاد کرنشهای تاخیری در جهت شعاعی و محوری لوله می‌گردد. لازم به ذکر است که کرنش تاخیری محوری به علت مهار بودن لوله در جهت محوری صفر در نظر گرفته می‌شود. در معادلات دیفرانسیل استخراج شده، جهت محاسبه کرنشهای تاخیری، از عبارات انتگرال کانولوشن استفاده شده است که با استفاده از روابط مناسبی به صورت تقریبی محاسبه می‌شوند. پس از مشخص کردن معادلات دیفرانسیل و شرایط اولیه و مرزی، روش عددی خطوط مشخصه (MOC) به منظور حل معادلات در حوزه زمان به کار گرفته می‌شود.

نتایج به صورت تاریخچه زمان- فشار در نقطه مشخصی از لوله رسم شده و با نتایج آزمایشگاهی ارایه شده در منابع معتبر قبلی مقایسه می شوند. نتایج حاصل از این پژوهش حاکی از این است که با در نظر گرفتن نسبت پواسن متغیر مواد ویسکوالاستیک در مدل ریاضی ارائه شده سبب یافتن پاسخ هایی با دقت بالا در پدیده ضربه قوچ در مواد ویسکوالاستیک برای دی های مختلف با استفاده از یک منحنی خرش کالیبره شده، می گردد.

**کلمات کلیدی :** ضربه قوچ، لوله ویسکوالاستیک، خطوط مشخصه، نسبت پواسن

## لیست مقالات مستخرج از رساله

1. Keramat, A., Ghaffarian Kolahi, A., Ahmadi, A. (2013). "Waterhammer modelling of viscoelastic pipes with a time-dependent Poisson's ratio", Journal of Fluids and Structures, Vol. 43, pp 164-178.
2. احمدی ا، کرامت ع، غفاریان کلاهی ا. (۱۳۹۲) " مدل ریاضی اصلاح شده ضربه قوچ در لوله های ویسکوالاستیک" مجله علمی- پژوهشی مکانیک سازه ها و شاره ها، دانشگاه صنعتی شاهرود. (تحت داوری)

## فهرست مطالب

۱	فصل اول: مقدمه
۲	۱-۱-۱- پدیده ضربه قوچ(چکش آبی)
۳	۱-۱-۱-۱- رفتار مواد ویسکوالاستیک
۵	۱-۲- فرضیات مطالعه
۵	۱-۳- اهداف اصلی تحقیق حاضر
۶	۱-۴- فصل بندی پایان نامه
۸	فصل دوم: مطالعات پیشین
۹	۲-۱- جریان غیر ماندگار
۱۰	۲-۲- ضربه قوچ
۱۱	۲-۳- تاریخچه ضربه قوچ
۱۴	۲-۴- مواد ویسکوالاستیک
۱۵	۲-۵- مطالعات پیرامون تئوری‌ها و معادلات حاکم
۱۹	فصل سوم: مدل ریاضی
۲۰	۳-۱- معادلات حاکم
۲۰	۳-۱-۱- رفتار مکانیکی مواد ویسکوالاستیک
۲۷	۳-۱-۱-۱- تشریح کرنش محیطی در لوله های ویسکوالاستیک
۲۸	۳-۱-۱-۲- روابط تنش-کرنش ویسکوالاستیک در حالت سه بعدی
۳۱	۳-۱-۱-۳- تست خزش و تعیین توابع تطبیقی خزش
۳۴	۳-۱-۲- معادلات پیوستگی و مومنتم سیال
۳۹	فصل چهارم: روش‌های عددی
۴۰	۴- مقدمه
۴۱	۴-۱- تقریب ترم‌های انگرال کانولوشن
۴۴	۴-۲- حل عددی با روش خطوط مشخصه
۵۱	۴-۳- صحت سنجی با استفاده از مقایسه با مدل مرجع
۵۲	۵-۱- آزمایش ایمپریال کالج
۵۳	۵-۲- فرایند کالیبراسیون
۵۵	۵-۳- صحت سنجی با استفاده از مقایسه با مدل مرجع
۵۹	۵-۴- مقایسه منحنی خزش تطبیقی بدست آمده از مدل ریاضی ارائه شده با مدل‌های قبلی
۶۱	فصل ششم: خلاصه و نتیجه گیری
۶۲	۶-۱- خلاصه

۶۳ .....	۲-۶ نتیجه گیری
۶۴ .....	۳-۶ پیشنهادات

۶۶ .....	پیوست
۶۹ .....	منابع
۷۰ .....	منابع فارسی
۷۱ .....	منابع انگلیسی

## فهرست اشکال

### شماره صفحه

..... ۳	شکل ۱-۱: پدیده چکش آبی در لوله
..... ۱۵	شکل ۱-۲: راست: پاسخ مواد جامد ویسکوالاستیک چپ: پاسخ مواد جامد ویسکوالاستیک
..... ۲۱	شکل ۱-۳: نمایش مکانیکی یک ماده جامد ویسکوالاستیک. (a): یک المان کلوین - ویت (b): مدل سه پارامتری کلوین - ویت (c): مدل تعمیم یافته کلوین - ویت
..... ۳۲	شکل ۲-۳: تست خزش در یک میله ویسکوالاستیک
..... ۳۲	شکل ۳-۳: تست رهاسازی در یک میله ویسکوالاستیک
..... ۴۹	شکل ۴-۱: خطوط مشخصه در صفحه $t-z$
..... ۵۵	شکل ۱-۵: منحنی خزش تطبیقی در لوله ویسکوالاستیک بدست آمده از مدل جدید بر اساس نتایج آزمایشگاهی آزمایش ایمپریال کالج
..... ۵۶	شکل ۲-۵: منحنیتابع رهاسازی بدست آمده از خزش تطبیقی در لوله ویسکوالاستیک بدست آمده از مدل جدید بر اساس نتایج آزمایشگاهی آزمایش ایمپریال کالج
..... ۵۶	شکل ۳-۵: نتایج هد در محل شیر بالادست در آزمایش ایمپریال کالج. نمودار پیوسته: نتایج حل با روش مدل ریاضی ارایه شده ، نمودار خط چین: دیتای آزمایشگاهی سوارس ( $Q_0=1.01 \text{ l/s}$ )
..... ۵۷	شکل ۴-۵: نتایج هد در محل شیر بالادست در آزمایش ایمپریال کالج. نمودار پیوسته: نتایج حل با روش مدل ریاضی ارایه شده ، نمودار خط چین: دیتای آزمایشگاهی سوارس ( $Q_0=0.056 \text{ l/s}$ )
..... ۵۸	شکل ۵-۵: مقایسه نتایج هد در ۳ نقطه متفاوت در حالت آنالیز با در نظر گرفتن اثر ویسکوالاستیک راست: نتایج کوواس و همکاران [6]، چپ: نتایج تحقیق حاضر.
..... ۵۹	شکل ۵-۶: منحنی خزش تطبیقی مدل کواس برای انواع دبی جریان [6-7]
..... ۶۰	شکل ۵-۷: مقایسه منحنی خزش بدست آمده از تست مکانیکی منحنی خزش تطبیقی کواس، دوان و مدل ارائه شده

## فهرست جداول

### شماره صفحه

- جدول ۱-۵: داده‌های ورودی در آزمایش ایمپریال کالج جهت بررسی ضربه قوچ در یک لوله ویسکوالاستیک..... ۵۳  
جدول ۲-۵: ضرایب کالیبره شده توابع کرنش خزشی در آزمایش ایمپریال کالج..... ۵۳  
جدول ۳-۵: تابع رهاسازی بدست آمده از ضرایب تابع خرمش تطبیقی در آزمایش ایمپریال کالج..... ۵۳

## **فصل اول:**

**مقدمه**

## ۱-۱- پدیده ضربه قوچ (چکش آبی)

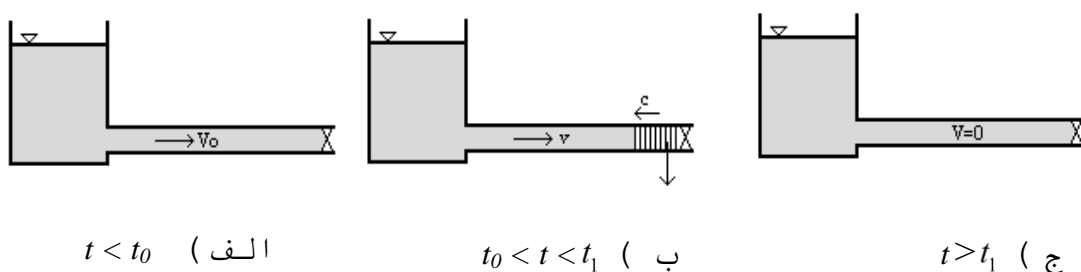
جريان غيرماندگار جريانی است که خصوصیات آن در هر نقطه با زمان تغییر کند. زمانی که جريان از یک حالت ماندگار به حالت ماندگار دیگری تغییر شرایط می دهد، جريان غیرماندگار ما بين را جريان میرا (گذرا)<sup>۱</sup> می نامند. ضربه قوچ یا چکش آبی<sup>۲</sup> نوعی جريان میرا است که در خطوط لوله می تواند در اثر بسته شدن شيرها یا توقف ناگهانی پمپ ايجاد شود.

به عنوان مثال فرض می شود که شير پایین دست خط لوله در زمان  $t_0$  کاملاً باز و آب با سرعت  $V_0$  در حال حرکت باشد. در اين لحظه شير بطور ناگهانی بسته می شود. در نتيجه بسته شدن شير، سرعت جريانی که از شير عبور می کند، بطور ناگهانی به صفر می رسد و بر اثر تبدیل انرژی جنبشی به انرژی فشاری، فشار در پشت شير افزایش می يابد. اين افزایش فشار باعث می شود که يك موج فشاری به سمت بالا دست شروع به حرکت کند. موج فشاری در محل مخزن منعکس خواهد شد و مابين شير و مخزن به حرکت رفت و برگشتی خود ادامه خواهد داد. ولی به علت تلفات ناشی از اصطکاک، اين موج در حين حرکت مستهلک می گردد و بالاخره در زمان  $t_1$  فشار در تمامی خط لوله مساوی با ارتفاع نظير فشار مخزن خواهد شد و جريان کاملاً متوقف می شود. بنابراین زمانیکه  $t_0 < t < t_1$  باشد، مشخصات جريان نسبت به زمان ثابت است و جريان ماندگار محسوب می گردد. ولی وقتی که  $t_1 < t < t_0$  باشد شرایط در حال تغییر از وضعیت اولیه به وضعیتنهایی است و جريان میرا خواهد بود [۳].

---

<sup>۱</sup>Transient flow

<sup>۲</sup>Water Hammer



شکل ۱-۱ : پدیده چکش آبی در لوله

### ۱-۱-۱- رفتار مواد ویسکوالاستیک

برخی مواد مانند پلیمرها در اثر بارگذاری خارجی وارد بر آنها، به تدریج آرایش مولکولهایشان نسبت به هم تغییر می‌کند. این امر باعث ایجاد یک تغییر شکل اضافی، علاوه بر تغییر شکل ایجاد شده بلافضله پس از بارگذاری میگردد. مقدار این تغییر شکل اضافی با میزان و تاریخچه تنش واردہ بر آن ماده رابطه دارد. جهت مدلسازی این نوع مواد باید با انجام آزمایشها<sup>۱</sup>، یک سری ثابت‌ها را برای آن ماده خاص مورد نظر تعیین نمود. هرچه تعداد ثابت‌های مورد نیاز جهت توصیف آن ماده کمتر باشد می‌توان گفت که مدل ریاضی توصیف کننده رفتار مکانیکی آن ماده کاملتر است.

تاکنون مدل‌های بسیار متنوعی به منظور توصیف ریاضی این مواد ارایه شده است. این مدل‌ها بر این اساس استوارند که با آرایش خاصی از تعدادی میراگر و فرن، می‌توان سیستمی تولید کرد که رفتارش معادل آن ماده ویسکوالاستیک مورد نظر باشد. از جمله این روش‌ها می‌توان به مدل جامع کلوین-ویت<sup>۲</sup> و ماکسول<sup>۳</sup> اشاره نمود. صرفنظر از اینکه این مدل‌ها تا چه اندازه قادرند رفتاری معادل یک ماده

<sup>۱</sup> Generalized Kelvin-Voigt Model

<sup>۲</sup> Maxwell Model

ویسکوالاستیک ارایه نمایند، موضوع اصلی این است که چگونه می‌توان رابطه دیفرانسیلی حاکم بر آن آرایش میراگر و فنر را به دست آورد. مطالعات انجام شده نشان داده‌اند که روابط حاکم بین تنش و کرنش در صورتی که مدل از تعداد نامحدودی المان فنر و میراگر تشکیل شده باشد شامل جملاتی از مشتقات زمانی تنش و کرنش از درجه صفر تا تعداد المانها خواهد بود. این روابط حاکم اگرچه از دقت خوبی از نظر ریاضی برخوردارند، به دلیل وجود مشتقات از درجات بالا در آنها، نمی‌توانند به منظور استفاده‌های مهندسی ابزار مناسبی باشند. برای رفع این مشکل، با استفاده از اصل روی هم گذاری بولتزمن و یا به کار گیری یک سری محاسبات طولانی شامل استفاده از تبدیل لابلس جهت حذف مشتقات زمانی از درجات بالا، یک فرم انتگرالی معادل برای ارایه رابطه حاکم بین تنش و کرنش استخراج گردیده است که به تدریج مبنای اصلی بسیاری از روش‌های عددی قرار گرفته است [۲].

با این وجود، این مساله که آیا توصیف‌های ریاضی ارایه شده بر پایه مدل‌های کلوین-ویت و یا ماکسول قادرند تمام انواع مصالح ویسکوالاستیک را شبیه سازی نمایند یا خیر همچنان مورد بحث محققان مختلف است. تحقیقات اخیر در این زمینه منجر به ارایه مدل‌هایی مجازی (چون نمی‌توان ادعا کرد که معادل آرایش خاصی از فنرها و میراگرها هستند) گردیده است که شامل جملات با مشتقات کسری هستند. با استفاده از این مدلها می‌توان با به کارگیری تعداد ثابت‌های کمتری نسبت به مدل‌های با درجات مشتق اعداد طبیعی، رفتار یک ماده ویسکوالاستیک را شبیه سازی نمود.

در این رساله از فرم انتگرالی اشاره شده برای توصیف رابطه بین تنش و کرنش استفاده می‌شود. عامل ایجاد کننده تنش در مساله مورد بحث این رساله، همان فشار سیال است که وجود آن باعث ایجاد یک تغییر شکل تدریجی در سازه می‌گردد. انتگرالهای توصیف کننده رفتار ویسکوالاستیک با استفاده از یک روش تقریبی سازگار با خطوط مشخصه حل می‌شوند.

## ۲-۱- فرضیات مطالعه

مدل توسعه داده شده در این رساله برای لوله‌های با مقاطع گرد که در فضای آزاد در معرض فشار هوای جو هستند معتبر است. لوله‌ها (و شیر) در جهت محوری کاملاً مهار شده اند به طوری که اثر تداخلی پواسن (و اتصال) نتواند ایجاد شود. دمای محیط به صورت ثابت فرض می‌شود.

در استخراج معادلات دیفرانسیلی حاکم، لوله به صورت جدار نازک فرض می‌شود که از مواد الاستیک و یا ویسکوالاستیک خطی تهیه شده است. سیال درون لوله نیز به صورت تراکم ناپذیر و نیوتنی والاستیک خطی فرض می‌شود. کرنشهای ایجاد شده در امتداد لوله صفر در نظر گرفته می‌شود.

کلیه معادلات دیفرانسیلی استخراج شده بجز ترم نه چندان مهم اصطکاک بین سیال و دیواره لوله، خطی می‌باشند. البته وجود شرایط مرزی غیر خطی باعث ایجاد مساله غیرخطی می‌شود.

## ۳-۱- اهداف اصلی تحقیق حاضر

### ۱- آیا لوله‌های ویسکوالاستیک باعث تغییراتی در نمودارهای فشار-زمان می‌شوند؟

در تشریح مساله تداخل سیال-سازه در لوله‌های ویسکوالاستیک از دید فیزیکی می‌توان گفت : پس از بستن شیر، فشار جوکوفسکی در تمام نصف دوره تناوب ضربه قوچ برقرار خواهد بود. از طرف دیگر بر طبق مدل ویسکوالاستیک به علت وجود تنفس هوپ (محیطی) درون لوله، دیواره لوله به تدریج رفتار خرزشی از خود نشان خواهد داد. این رفتار باعث افزایش حجمی که سیال فشار بالا در آن است خواهد شد و این امر به نوبه خود باعث کاهش جزیی فشار می‌شود. به عبارت دیگر سیال مقداری از انرژی خود را به علت انجام کار روی دیواره لوله از دست می‌دهد. مقداری از این کار منجر به تغییر شکل الاستیک در لوله می‌شود بنابراین لوله می‌تواند این انرژی را دوباره به سیال برگرداند، بخش دیگری از این کار

منجر به تغییر شکل خزشی (ویسکوالاستیک) در دیواره لوله می‌شود و در واقع به صورت میرایی در نتایج ظاهر می‌شود زیرا این کار غیر قابل برگشت است.

## ۲- مدل ریاضی اصلاح شده، متغیر بودن نسبت پواسن، باعث چه تغییراتی در معادلات و نمودارها می‌گردد؟

نسبت پواسن در مواد ویسکوالاستیک تابعی از زمان می‌باشد که این مورد باعث تغییراتی در ترم کرنش محیطی در معادله پیوستگی می‌گردد که برای محاسبه این کرنش نیازمند تابع خزش و رهاسازی داریم. تابع خزش تطبیقی بدست آمده از این مدل نزدیک به تابع خزش بدست آمده از تست مکانیک می‌باشد. که در فصول بعد با مفهوم تابع خزش و تابع رهاسازی و چگونگی محاسبه آنها آشنا می‌شویم.

## ۴-۱- فصل بندی

پس از تشریح یک مقدمه کلی درباره پدیده ضربه قوچ و تاریخچه آن و مولفه‌های تاثیرگذار بر آن و سپس بیان خلاصه‌ای از اهداف این رساله در این فصل، در پنج فصل باقیمانده به مباحث زیر پرداخته شده است.

در فصل دوم پدیده ضربه قوچ و تاریخچه مطالعه در مورد آن توضیح داده شده است. و آخرین کارهایی که محققین در زمینه پدیده ضربه قوچ بر روی مواد ویسکوالاستیک انجام داده اند، به اختصار بررسی شده است.

در فصل سوم به ارایه مدل ریاضی حاکم در سیستم‌های لوله ویسکوالاستیک و تحت فشار، پرداخته شده است. در این فصل، معادلات حاکم بر هیدرولیک جریان بیان شده اند.

در فصل چهارم روش‌های حل عددی معادلات حاکم تشریح می‌شوند. روش حل عددی شامل روش خطوط مشخصه، تشریح شده و الگوریتم آن به منظور حل معادلات مذکور توضیح داده شده است.

فصل پنجم به ارایه مثال نمونه اختصاص داده شده است در این مثال نشان داده شده است که با به کارگیری روش‌های ارایه شده در این تحقیق، نتایجی کاملاً مشابه آنچه انتظار می‌رود، حاصل شده است.

در فصل ششم ارایه خلاصه‌ای از تحقیق حاضر و برخی نتایج حاصله از کار روی این موضوع پرداخته شده است.

فصل دوم:

مطالعات پیشین

## ۱- جریان غیر ماندگار

بر اساس تغییر در مشخصات جریان بر حسب زمان، انواع جریان به دو نوع دائمی (ماندگار) و غیر دائمی(غیر ماندگار)، طبقه بندی می شوند. هرگاه در یک مقطع ثابت از جریان، مشخصات جریان(دبی، فشار و ...) با زمان تغییر یابد، جریان غیر دائمی می باشد و چنانچه در یک مقطع ثابت از جریان، مشخصات جریان با زمان تغییر نداشته باشد، جریان دائمی است.

از نظر فیزیکی، هر جریان غیر دائمی، عبارت است از حرکت یک موج که با تغییر مکان خود و بر حسب شرایط، خصوصیات جریان را از مقطعی به مقطع دیگر و از زمانی به زمان دیگر، تغییر می دهد.

تغییرات صورت گرفته در جریانات غیر ماندگار، می تواند در اثر عوامل گوناگونی همچون عوامل طبیعی یا حوادث اتفاقی باشد و این جریانات محدوده وسیعی را از امواج نواسانی( مانند پدیده ضربه قوچ) گرفته تا سیلان حاصل از اقیانوس ها، در بر می گیرد.

امروزه با پیشرفت علوم و فنون و ساخت تجهیزات صنعتی بزرگتر و دستگاههای دارای سرعت زیادتر، مسائل مربوط به جریان غیر ماندگار، اهمیت روز افزونی یافته است. به عنوان نمونه در پدیده هایی همچون پدیده ضربه قوچ و اندرکنش آب و سازه که با جریانات گذرای هیدرولیکی روبرو هستیم، نه تنها با فشارهای بالا و خطرناک مواجه بوده، بلکه صدای شدید و خستگی و حفره ای شدن فلزات (سازه سیستم)، به دلیل ایجاد خلاء در جریان سیال و قطع مدارات کنترل معمولی را نیز به دنبال دارد. در چنین شرایطی بررسی ارتعاشات شدیدی که می تواند مخرب باشند، در سازه سیستم هیدرولیکی، از اهمیت بالایی برخوردار است.

از سوی دیگر تحلیل جریانهای غیر ماندگار بسیار پیچیده تر از جریان های ماندگار است؛ چرا که با توجه به عدم استقلال زمانی جریانات غیر دائمی، نمیتوان عامل زمان را در حل مسائل مربوطه این جریانها حذف نمود. بنابر این معادلات، از نوع معادلات دیفرانسیل جزئی خواهند بود. برای حل مسائل جریانات غیر ماندگار، استفاده از روشهای تحلیلی در حالاتی خاص وجود دارد اما در بیشتر موارد حل، از روشهای عددی استفاده می گردد.

## ۲- ضربه قوچ [۱]

وقتی که یک سیال درون یک مسیر در حال جریان باشد و کند شدن و یا تسريع سرعت جریان به وجود آید، پدیده ضربه قوچ مشاهده خواهد شد. نظیر موقعی که در مسیر لوله شیری قرار گرفته باشد و به وسیله آن تغییری در سطح خروجی جریان ایجاد شود. وقتی یک شیر را در مسیر خط لوله و جریان به سرعت می بندیم، جریان درون شیر کاسته می شود. این عمل افزایش هد در سمت ورودی شیر را به دنبال خواهد داشت و ضربه ای ناشی از فشار زیاد را ایجاد می کند که در بالا دست جریان با سرعت موج صوتی  $c$ ، تقویت می شود. نتیجه این ضربه فشاری کاهش سرعت جریان می باشد. در سمت دیگر شیر، فشار کاهش خواهد یافت و موج فشار کاسته شده با سرعت موج  $c$  به طرف پایین دست جریان حرکت می کند که این نیز کاهش سرعت را به همراه دارد. موج فشاری در قسمت بالا دست شیر، در حد فاصل شیر و مخزن به حرکت رفت و برگشتی خود ادامه می دهد. فرایند رفت یا برگشت موج فشاری در زمان  $L/c$  ثانیه صورت می گیرد که  $L$  فاصله بین شیر و مخزن می باشد. عمل اصطکاک سیال و خواص ناقص کشسانی سیال و جداره لوله، میرائی ارتعاشات و نهایتاً فشار در تمامی خط لوله، از مخزن تا شیر، برابر با ارتفاع نظیر فشار مخزن می گردد و توقف دائمی سیال را به دنبال دارد.

## ۲-تاریخچه ضربه قوچ [۳]

مطالعه هیدرولیک جریانهای میرا از قرن ۱۷ میلادی با تحقیق در بارهٔ نحوه انتشار امواج صوتی در هوا و انتشار امواج در آبهای کم عمق شروع شد، لکن تحقیق پیرامون پدیده ضربه قوچ، بیشتر به حدود دو قرن پس از آن، مربوط می‌شود.

نیوتن<sup>۱</sup> و لاگرانژ<sup>۲</sup> نخستین کسانی بودند که در این زمینه به مطالعه پرداختند. مونژ<sup>۳</sup> در سال ۱۷۸۹ روشی ترسیمی برای انتگرال گیری از معادلات دیفرانسیل جزئی ارائه کرد و آنرا روش خطوط مشخصه (MOC)<sup>۴</sup> نامید. هلم هولتز<sup>۵</sup> اولین کسی بود که دریافت، سرعت امواج فشاری در آب داخل لوله کمتر از سرعت موج در آبهای آزاد است. او این اختلاف را ناشی از کشسان بودن جدار لوله دانست. وبر<sup>۶</sup> جریان سیال غیر قابل تراکم را در لوله‌های کشسان مورد مطالعه قرار داد و آزمایشاتی جهت تعیین سرعت امواج فشاری انجام داد. همچنین او معادلات پیوستگی و اندازه حرکت که اساس مطالعات جریانهای غیرماندگار هستند را ارائه نمود. ماری<sup>۷</sup> نیز آزمایشات متعددی جهت تعیین سرعت موج فشاری انجام داد و دریافت که اولاً سرعت موج مستقل از دامنه امواج فشاری است و ثانیاً سرعت موج با ضریب الاستیسیته جدار لوله متناسب است. کورت وگ<sup>۸</sup> نخستین کسی بود که سرعت موج را با توجه به

---

<sup>۱</sup> Newton

<sup>۲</sup> Lagrange

<sup>۳</sup> Monge

<sup>۴</sup> Method Of Characteristics

<sup>۵</sup> Helmholtz

<sup>۶</sup> Weber

<sup>۷</sup> Marey

<sup>۸</sup> Korteweg

کشسان بودن جدار لوله و کشسانی سیال بدست آورد. گرومیکا<sup>۱</sup> برای اولین بار افتهای اصطکاکی را به هنگام تحلیل ضربه قوچ مدنظر قرار داد. او فرض کرد که سیال غیر قابل تراکم است و افتهای اصطکاکی با سرعت رابطه مستقیم دارند. در سال ۱۸۹۷ ژوکوفسکی<sup>۲</sup> بر اساس مطالعات نظری و آزمایشگاهی که انجام داد، گزارشی درمورد تئوری اساسی ضربه قوچ منتشر نمود. او رابطه ای جهت سرعت انتشار موج فشاری بدست آورد که در آن کشسان بودن سیال و جدار لوله در نظر گرفته شده بود. همچنین او با استفاده از معادلات پیوستگی و اندازه حرکت، رابطه ای ما بین کاهش سرعت و افزایش فشار ناشی از آن بدست آورد. وی همچنین تحقیقاتی درباره اثرات سرعت بسته شدن یک شیر انجام داد و دریافت که افزایش فشار در لوله به زمان بسته شدن شیر ارتباط دارد. آلیوی<sup>۳</sup> در سال ۱۹۰۲ تئوری عمومی ضربه قوچ خود را منتشر کرد. معادله اندازه حرکتی که او بدست آورد از آنچه کورت و گ بدست آورده بود، دقیق‌تری داشت. گیبسون<sup>۴</sup> براساس تئوری ژوکوفسکی رساله ای ارائه کرد که برای اولین بار در تحلیل جریان، افتهای اصطکاکی بصورت غیر خطی در نظر گرفته شده بودند. وود<sup>۵</sup> روشی ترسیمی - تحلیلی جهت تحلیل جریان ضربه قوچ ارائه داد. لووی<sup>۶</sup> هم در سال ۱۹۲۸ روش ترسیمی مشابهی ارائه نمود و مسئله تشدید حاصل از عملکرد تناوبی شیرها و همچنین کاهش فشار ناشی از باز شدن آهسته شیرها را مورد بررسی قرار داد. وی در تحلیل خود تلفات اصطکاکی را با اضافه کردن جمله مربوط به

---

<sup>۱</sup> Gromeka

<sup>۲</sup> Joukowsky

<sup>۳</sup> Allievi

<sup>۴</sup> Gibson

<sup>۵</sup> Wood

<sup>۶</sup> Lowy

اصطکاک در معادلات دیفرانسیل جزئی در نظر گرفت. برگرون<sup>۱</sup> روش ترسیمی را برای تعیین شرایط در مقاطع میانی خط لوله بسط و گسترش داد. وی اولین کسی بود که در تحلیل ترسیمی خود تلفات اصطکاکی را در نظر گرفت.

در سال ۱۹۳۳ کنفرانس مشترکی توسط انجمن مهندسین راه و ساختمان آمریکا<sup>۲</sup> و انجمن مهندسین مکانیک آمریکا<sup>۳</sup> برگزار شد که در آن رساله های متعددی در مورد تحلیل ضربه قوچ در خطوط لوله انتقال ارائه گردید. همچنین در اجلاس سالانه انجمن مهندسین مکانیک آمریکا در سال ۱۹۳۷ مقالاتی در مورد تحلیل مخازن هوای تحت فشار و شیرها و همچنین چگونگی در نظر گرفتن منحنی مشخصه کامل پمپ و مقایسه بین نتایج محاسبه شده و نتایج آزمایشگاهی ارائه گردید. در فاصله سالهای ۱۹۴۰ تا ۱۹۶۰ کتابها و مقالات متعددی در زمینه ضربه قوچ منتشر گردید. رویس<sup>۴</sup> اولین شخصی بود که روشی برای تعیین مراحل بسته شدن شیر ارائه کرد که روش بسته شدن بهینه شیر<sup>۵</sup> نامیده شد.

کیبلکا و فرانک<sup>۶</sup> و استریتر<sup>۷</sup> از این روش در تحلیل کامپیوتری سیستم های لوله کشی پیچیده بهره گرفتند. گری<sup>۸</sup> روش مشخصه را در تحلیل کامپیوتری ضربه قوچ بکار برد. لای<sup>۹</sup> و استریتر در مقاله ای مشترک، برای نخستین بار روش مشخصه را در تحلیل جریان میرا، با استفاده از کامپیوتر تعمیم دادند.

<sup>۱</sup> Bergeron

<sup>۶</sup> Cableca & Franc

<sup>۲</sup> ASCE

<sup>۷</sup> Streeter

<sup>۳</sup> ASME

<sup>۸</sup> Gray

<sup>۴</sup> Ruus

<sup>۹</sup> Lai

<sup>۵</sup> Optimum Valve Closure

بعدها استریتر مقالات متعددی درباره روش مشخصه ارائه نمود . همچنین کتابی در مورد جریانهای میرای هیدرولیکی منتشر کرد.

#### ۴- مواد ویسکوالاستیک

در سالهای اخیر کاربرد پلیمرهایی مثل پلی اتیلن (PE) و پلی کلرید وینیل (PVC) و اکریلونیتریل بوتادین استرین (ABS) به طورگسترهای ای دربخش های متعدد صنعت و بخصوص در سیستم های لوله گذاری افزایش یافته است. برخی مزایا شامل وزن کم، نصب سریع و آسان، قیمت پایین و مقاومت شیمیایی و مقاومت سایشی بالا، طراحان را برای انتخاب استفاده مواد خام ویسکوالاستیک در طراحی هایشان برانگیخته اند. اساساً ویسکوالاستیکی خاصیتی است که با تأخیر در واکنش مکانیکی ماده خام آشکارشده است. در مواد ویسکوالاستیک از مصالحی صحبت می شود که ویژگیهای سیالات و جامدات را دارا می باشند. برای شبیه سازی رفتار مکانیکی یک ماده جامد الاستیک خطی، معمولاً از یک فنر استفاده می شود و برای شبیه سازی رفتار مکانیکی یک سیال ویسکوز خطی، معمولاً از یک میراگر ویسکوز (لزج) استفاده می شود.

در مواد الاستیک خطی اگر یک تنش تک محوری ثابت به نمونه وارد شود، بر اساس رابطه  $\sigma(t) = E\varepsilon(t)$  یک کرنش ثابت در این زمان به نمونه وارد می شود که در شکل (۱-۲) مشاهده می کنید.

اما اگر این تنش تک محوری ثابت را به یک نمونه از جنس مواد ویسکوالاستیک خطی وارد کنیم پاسخ نمونه، در شکل (۱-۲) نشان داده شده است، شامل :

##### ۱- افزایش سریع کرنش، OA

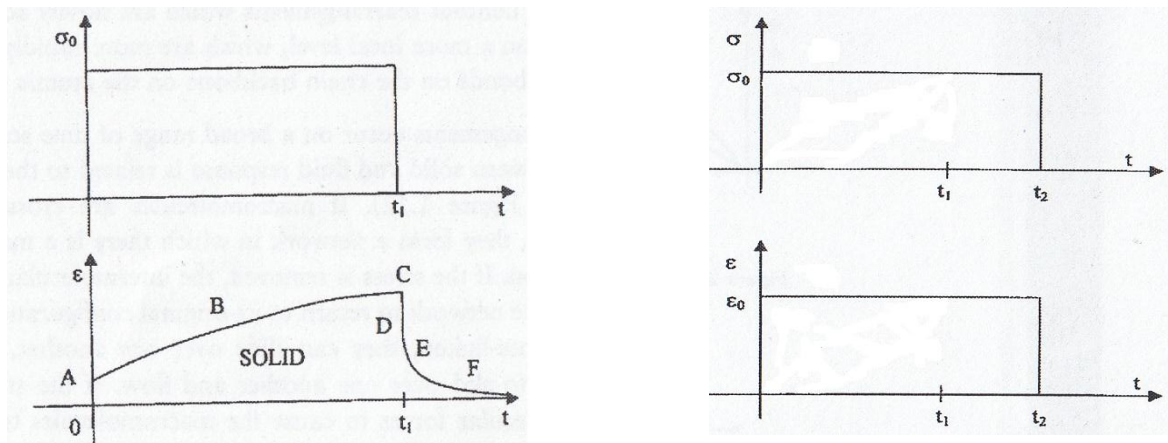
۲- کرنش در طول زمان بدون نرخ ثابتی افزایش می یابد، ABC

کرنش OA به عنوان کرنش الاستیک خوانده می شود و کرنش ABC که در طول زمان اتفاق می افتد که ترکیبی از اثرات ویسکوز و الاستیک ماده است، خرزش خوانده می شود.

اگر تنش را در زمان  $t_1$  به صفر کاهش یابد، آنگاه:

۱- کرنش به صورت آنی کاهش می یابد، CD

۲- سپس بقیه کرنش به صورت غیر خطی کاهش می یابد تا به صفر برسد، DEF



شکل (۱-۲) : راست : پاسخ مواد جامد الاستیک چپ : پاسخ مواد جامد ویسکوالاستیک [15]

##### ۵- مطالعات پیرامون تئوری‌ها و معادلات حاکم

تشریح روش مدلسازی رفتار ویسکوالاستیک دیواره لوله در معادلات ضربه قوچ، با استفاده از روش MOC توسط کوواس و همکاران [1-3,5] ارایه گردید. در این کارها که جدیدترین تحقیقات در زمینه ضربه قوچ در لوله‌های ویسکوالاستیک به شمار می‌روند، اثر کرنشهای محیطی دیواره لوله با استفاده از

المانهای کلوین - ویت مدلسازی شده است. کواس یک مدل برای در نظر گرفتن رفتار دینامیکی ویسکوالاستیک دیواره لوله در ضربه قوچ را ارائه کرد [4]. مدل یک ترم اضافه در معادله پیوستگی برای تشریح تغییر شکل شعاعی تاخیری دیواره لوله در برداشت که مبتنی بر تابع خزش پردازش شده با داده های آزمایشگاهی بود. در این مدل، رفتار ویسکوالاستیک به وسیله مجموعه‌ای از فنرها و میراگرها شبیه سازی می‌شود. معادلات ارایه شده در اینجا، دو معادله پیوستگی و مونتم سیال می‌باشند که اثر رفتار ویسکوالاستیک همانند یک ترم چشممه ای<sup>۱</sup> در معادله پیوستگی وارد می‌گردد. البته ضعف عمدۀ این روش این است که در آن، توابع خزش تطابقی باید با انجام یک آزمایش روی شبکه لوله، کالیبره شوند. این روش در تحقیقات بعدی که به وسیله سوارس و همکاران انجام شد، تکمیل و تصحیح شد. در تحقیق کاملتری که توسط سوارس و همکاران انجام شد، اثر جدایی ستون مایع در لوله‌های ویسکوالاستیک به صورت عددی و آزمایشگاهی بررسی شد. پژوهش مشابهی در این زمینه توسط سوارس [10] با ارائه یک الگوریتم کلی که شامل اثرات ویسکوالاستیک و اصطکاک غیرماندگار (مدل اصطکاک شبه ماندگار و مدل اصطکاک غیرماندگار) که در روش عددی MOC قابل پیاده سازی بود، انجام گرفت. در این پژوهش از حل معکوس برای تعیین ضرایب تابع خزش تطابقی به کار گرفته شد. نتیجه گیری نهایی کار این بود که تاثیرات اصطکاک ناپایدار و قنیکه اثر ویسکوالاستیک دیواره لوله در نظر گرفته شود قابل اغماص هستند. جدیدترین پژوهشی که روی مدلسازی ریاضی ضربه قوچ صورت گرفته است، مدل ریاضی کرامت و همکاران (2012) و کرامت و تایسلینگ (2012) [12-13] می‌باشد. در این مدل، ترم اضافی در معادله پیوستگی که برای تشریح کرنش محیطی (هوپ) بکار می‌رود با توجه به فرضیاتی مانند لوله جدار نازک، ثابت بودن نسبت پواسن و تئوری کرنش های کوچک بدست آمده است. در حالیکه در این معادلات اثر کرنش محوری، پدیده جدایی ستون مایع و اثر کوپله اتصال و پواسن در نظر گرفته شده است.

<sup>1</sup> Source term

در سالهای اخیر محققین مباحثت چکش آبی همانند برگانت و همکاران، بیشتر توجه خود را به بررسی اثرات تک تک پارامترهای موثر در امواج فشاری ضربه قوچ معطوف داشته اند. این موارد عبارتند از : اثر رفتار ویسکوالاستیک دیواره لوله، نشت و سه اثر معروف پیشین یعنی اصطکاک غیرماندگار، کاویتاسیون و اندرکنش سیال- سازه. در این تحقیق که در دو بخش مدلسازی ریاضی و انواع نمونه‌های بررسی شده، ارایه شده است فقط مورد رفتار ویسکوالاستیک دیواره لوله بررسی شده است [1-3].

حل معادلات ضربه قوچ در شبکه‌های لوله از دو دیدگاه اصلی مورد توجه قرار گرفته است : حل در بازه زمان و حل در بازه فرکانس که هر کدام مزایا و معایبی دارند.

حل در بازه زمان که منظور حل عددی معادلات می‌باشد از این نظر اهمیت دارد که به وسیله آن می‌توان انواع مختلف سیستمهای لوله (شاخصه‌ای، حلقوی با انواع شرایط مرزی) را تحلیل کرد. ضعف این روش در لزوم استفاده از میانیابی جهت انتقال پارامترهای هیدرولیکی به معادلات سازه و بالعکس می‌باشد که این امر خود باعث کند شدن این مدل‌ها می‌شود.

حل فرکانسی تنها برای یک لوله مستقیم امکان پذیر است و شرایط مرزی باید بسیار ساده باشند. در این روش معادلات حاکم با روش جداسازی متغیرها و سپس استفاده از سریهای فوریه جهت تعیین تابع مناسب که بتواند شرایط مرزی را ارضاء کند امکان پذیر است.

در مسایل ویسکوالاستیک چنانچه حل فرکانسی مورد نظر باشد باید از اصل تطابق<sup>۱</sup> استفاده کرد. در این صورت معادله دیفرانسیل حاکم در حوزه لابلس نوشته می‌شود که معمولاً از آن میتوان حل دقیق را در حوزه لابلس به دست آورد. اما گرفتن لابلس معکوس از آن معمولاً کاری پیچیده بوده و نیاز به بکارگیری آلگوریتمهای عددی دارد. به طور کلی مزیت این روش دقت بسیار بالا و امکان حصول

<sup>1</sup> Correspondence principle

جواب تا زمان‌های طولانی پس از آغاز غیر ماندگاری سیستم بدون نیاز به صرف زمان زیاد جهت محاسبه می‌باشد [۲].

**فصل سوم:**

**مدل ریاضی**

## ۱-۳- معادلات حاکم

اصلی ترین بخش هر مدل ریاضی، معادلات حاکم می‌باشد که در اینجا برای پدیده ضربه قوچ با در نظر گرفتن اثرات تداخلی سیال-سازه، در حالتی که لوله از مواد ویسکوالاستیک ساخته شده است بررسی می‌شوند.

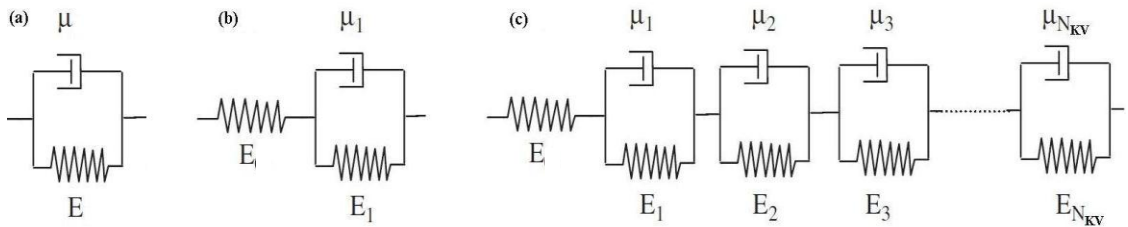
قبل از تشریح نحوه استخراج معادلات، برخی روابط بنیادی حاکم بر مواد ویسکوالاستیک ارایه می‌شوند.

### ۱-۱-۳- رفتار مکانیکی مواد ویسکوالاستیک

در مواد ویسکوالاستیک از مصالحی صحبت می‌شود که ویژگیهای سیالات و جامدات را دارا می‌باشند. برای شبیه سازی رفتار مکانیکی یک ماده جامد الاستیک خطی، معمولاً از یک فنر استفاده می‌شود که در حالت یک بعدی با رابطه‌ای به صورت  $F_s = k_1 u$ ، که در آن  $F$  نیرو و  $u$  جابجایی و اندیس  $S$  جهت نشان دادن فنر است مدلسازی می‌شود. برای شبیه سازی رفتار مکانیکی یک سیال ویسکوز خطی، معمولاً از یک میراگر ویسکوز (لزج) استفاده می‌شود که در حالت یک بعدی با رابطه  $F_D = k_2 \dot{u}$  مدلسازی می‌شود که در آن اندیس  $D$  نشان دهنده میراگر و نقطه در بالای  $u$  نشان دهنده مشتق جابجایی نسبت به زمان است. جهت بیان پاسخ یک ماده ویسکوالاستیک خطی، یک روش در نظر گرفتن سیستمی متشکل از یک فنر و یک میراگر که به صورت موازی نسبت به هم قرار داده شده‌اند می‌باشد. در این صورت بدیهی است که کل نیروی واردہ بر این سیستم  $F = F_D + F_s$  و بنابراین  $F = k_1 u + k_2 \dot{u}$  خواهد بود. برطبق این رابطه، که برای یک سیستم در معرض یک نیرو و متشکل از یک فنر و یک میراگر موازی صادق است یک مدل مکانیکی مطابق شکل ۱-۳-a تعریف می‌شود. در این مدل رابطه حاکم بین تنش  $\sigma$  و کرنش  $\epsilon$  که براین سیستم (مجموعه فنر و میراگر) عمل می‌کنند عبارت است از

$$p_0\sigma = q_0\varepsilon + q_1\dot{\varepsilon}, \quad p_0 = 1, \quad q_0 = E, \quad q_1 = \mu, \quad (1-3)$$

که در آن  $E$  مدول الاستیسیته فنر و  $\mu$  ویسکوزیته میراگر و غاهنگ تغییر کرنش است.



شکل (1-3) : نمایش مکانیکی یک ماده جامد ویسکوالاستیک. (a): یک المان کلوین - ویت (b): مدل سه پارامتری کلوین - ویت (c): مدل تعمیم یافته کلوین - ویت.

شکل (1-3-a) نشان دهنده مدل کلوین- ویت متشکل از یک المان است. معمولاً این مدل نمی‌تواند به درستی پاسخ مواد ویسکوالاستیک را شبیه سازی کند. مدل کامل‌تری بنام مدل کلی (جامع) کلوین- ویت که در شکل (1-3-c) نشان داده شده است، ابزاری برتر برای این منظور است. در این مدل تعداد  $N_{KV}$  المان کلوین- ویت به صورت سری به همراه یک فنر اضافی به هم متصل شده اند. با استفاده از آنالیز مشابهی که جهت بدست آوردن معادله (1-3) انجام شد می‌توان ثابت کرد که رابطه حاکم برای مدل تعمیم یافته کلوین- ویت به شکل زیر می‌باشد [6].

$$p_0\sigma + \sum_{k=1}^{N_{KV}} p_k \frac{d^k \sigma}{dt^k} = q_0\varepsilon + \sum_{k=1}^{N_{KV}} q_k \frac{d^k \varepsilon}{dt^k} \quad (2-3)$$

که در آن ضرایب  $p$  و  $q$  توابعی از مدول الاستیسیته فنر و ویسکوزیته میراگر مربوط به هر المان می‌باشند که با اندیس‌های 1 الی  $N_{KV}$  برای هر المان (مطابق شکل 1-3-c) نشان داده شده اند. در اینجا رابطه فوق برای یک سیستم سه پارامتری کلوین - ویت ( $N_{KV}=1$ ) نشان داده در شکل (1-3-b) اثبات می‌شود.

روابط اصلی که برای یک مدل سه پارامتری کلوین- ویت صادق هستند عبارتند از :

$$\sigma = \sigma_0 = \sigma_1 \quad (3-3)$$

$$\varepsilon = \varepsilon_0 + \dot{\varepsilon}_1 \quad (4-3)$$

که در آن اندیس ۰ نشان دهنده خصوصیات یک فنر تنها و اندیس ۱ نشان دهنده ویژگیهای مربوط به یک المان کلوین - ویت است. متغیرهای بدون اندیس نشان دهنده خصوصیات کل سیستم متشکل از سه پارامتر می‌باشند. به این ترتیب  $\sigma_0$  و  $\sigma_1$  به صورت زیر قابل بیان هستند.

$$\sigma = \sigma_0 = E_0 \varepsilon_0 \quad (5-3)$$

$$\sigma = \sigma_1 = E_1 \varepsilon_1 + \mu_1 \dot{\varepsilon}_1 \quad (6-3)$$

برای بدست آوردن یک رابطه دیفرانسیلی بنیادی بین تنش و کرنش در سیستم مورد نظر، رابطه (۴-۳) که در آن  $\varepsilon_0$  بر حسب  $\sigma$  با استفاده از (۵-۳) قابل بیان است را در  $E_1$  ضرب می‌نماییم. از سوی دیگر، با توجه به رابطه (۴-۳)، از آن نسبت به زمان مشتق گیری نموده و در  $\mu_1$  ضرب می‌نماییم. در نهایت دو رابطه اخیر حاصله را با هم جمع می‌نماییم، رابطه زیر حاصل خواهد شد.

$$E_1 \varepsilon + \mu_1 \dot{\varepsilon} = \frac{E_1}{E_0} \sigma + \frac{\mu_1}{E_0} \dot{\sigma} + E_1 \varepsilon_1 + \mu_1 \dot{\varepsilon}_1 \quad (7-3)$$

که با توجه به رابطه (۶-۳) به صورت زیر قابل نوشتن است.

$$p_0 \sigma + p_1 \dot{\sigma} = q_0 \varepsilon + q_1 \dot{\varepsilon}, \quad p_0 = 1, \quad p_1 = \frac{\mu_1}{E_0 + E_1}, \quad q_0 = \frac{E_0 E_1}{E_0 + E_1}, \quad q_1 = \frac{E_0 \mu_1}{E_0 + E_1}. \quad (8-3)$$

این رابطه معادل رابطه (۲-۳) در حالتی که  $N_{KV}=1$  می‌باشد است.

همانطور که مشاهده گردید رابطه حاکم بین تنش و کرنش برای مواد ویسکوالاستیک خطی شامل جملاتی از مشتقات زمانی تنش و کرنش می‌باشد. با استفاده از تبدیل لاپلاس و سپس معکوس آن یک شکل جایگزین برای بیان رابطه تنش و کرنش به صورت زیر پیدا می‌شود [1-2].

$$\varepsilon(t) = \sigma(t)J(0) + \int_0^t \sigma(t-s) \frac{dJ(s)}{ds} ds = (\sigma * dJ)(t) = (J * d\sigma)(t) \quad (9-3)$$

" \* " نشان دهنده اپراتور کانولوشن و "  $d$  " اپراتور استیلیس کانولوشن می‌باشند. اپراتور استیلیس کانولوشن نسبت به اپراتور کانولوشن معمولی دارای یک ترم اضافی  $(J(0)\sigma)$  که نشانگر پاسخ آنی (الاستیک) سیستم است می‌باشد. در فرمول فوق تابع خزش تطابقی  $J(t)$  مطابق با مدل تعمیم یافته کلوین-ویت به صورت زیر به دست خواهد آمد [1-2].

$$J(t) := J_0 + \sum_{k=1}^{N_{KV}} J_k \left( 1 - e^{-\frac{t}{\tau_k}} \right) \quad (10-3)$$

که در آن  $J_0 = 1/E$  نشان دهنده پاسخ آنی مصالح ویسکوالاستیک،  $E_k = 1/\mu_k$  نشان دهنده خزش تطابقی فنر مربوط به المان  $k$  ام کلوین-ویت و  $\mu_k$  مدول الاستیسیته فنر  $k$  ام و  $\tau_k$  زمان تاخیر میراگر  $k$  ام است. در اینجا  $\mu_k/E_k = \tau_k$  که در آن  $\mu_k$  ویسکوزیته میراگر  $k$  ام است (منظور از  $=$  تساوی تعریف شده است). معادلات (9-3) و (10-3) برای یک مدل سه پارامتری کلوین-ویت در ادامه اثبات می‌شوند.

همچنین میتوان رابطه بین تنش و کرنش را از فرمول زیر بدست آورد:

$$\sigma(t) = \varepsilon(t)E_R(0) + \int_0^t \varepsilon(t-s) \frac{dE_R(s)}{ds} ds = (\varepsilon * dE_R)(t) = (E_R * d\varepsilon)(t) \quad (11-3)$$

که  $E_R(t)$  تابع رها سازی به صورت زیر می‌باشد.

$$E_R(t) = E_{R_\infty} + \sum_{k=1}^{N_{kv}} E_{R_k} e^{-\frac{t}{\tau'_k}} \quad (12-3)$$

که  $E_{R_\infty}$  و  $J_\infty$  به صورت  $1 = J_\infty \cdot E_{R_\infty}$  رابطه دارند که در آن

شرط اولیه ضروری جهت معادله مربوط به مدل سه پارامتری کلوین ویت (۸-۳) به صورت زیر می‌باشد.

$$p_1 \sigma(0) = q_1 \varepsilon(0) \quad (13-3)$$

معادله دیفرانسیل ارایه شده در (۸-۳) به همراه شرط اولیه (۱۳-۳)، مدل سه پارامتری کلوین-ویت ارایه شده در شکل (۱-۳-b) را به صورت کامل توصیف می‌کنند.

جهت بدست آمدن یک فرمولاسیون انتگرالی بین تنش و کرنش، اپراتور لاپلاس به صورت زیر تعریف می‌گردد.

$$L(f(t)) = \bar{f}(s) = \int_0^\infty f(t) e^{-st} dt \quad (14-3)$$

بر طبق این اپراتور و با استفاده از انتگرالگیری جزء به جزء می‌توان ثابت کرد که تبدیل لاپلاس مشتق یکتابع به صورت زیر بدست می‌آید.

$$L\left(\frac{df(t)}{dt}\right) = sL(f(t)) - f(0) = s\bar{f}(s) - f(0) \quad (15-3)$$

در راستای این اپراتور، تابع  $f_3$  که به عنوان انتگرال کانولوشن<sup>۱</sup> (یا ریمان کانولوشن) دو تابع  $f_1$  و  $f_2$  خوانده می‌شود و به صورت  $f_1 * f_2$  نشان داده می‌شود به صورت زیر تعریف می‌گردد.

$$f_3(t) = \int_0^t f_1(t-s)f_2(s)ds \quad (16-3)$$

در این حالت، این ویژگی مهم برقرار خواهد بود.

$$L(f_3(t)) = \bar{f}_3(s) = L(f_1(t) * f_2(t)) = L(f_1(t))L(f_2(t)) = \bar{f}_1(s)\bar{f}_2(s) \quad (17-3)$$

اکنون چنانچه از رابطه (۸-۳) لاپلاس گیری شود خواهیم داشت.

$$p_0\bar{\sigma} + p_1(s\bar{\sigma} - \sigma(0)) = q_0\bar{\varepsilon} + q_1(s\bar{\varepsilon} - \varepsilon(0)) \quad (18-3)$$

که با توجه به شرط اولیه (۱۳-۳) به رابطه زیر منجر خواهد شد.

$$\bar{\varepsilon}(s) = \left( \frac{p_0 + p_1 s}{q_0 + q_1 s} \right) \bar{\sigma}(s) \quad (19-3)$$

از تعریف  $J_1 = 1/E_1$ ،  $J_0 = 1/E$ ،  $\tau_1 = \mu_1/E_1$  رابطه (۱۹-۳) به صورت زیر قابل نوشتن است.

$$\bar{\varepsilon}(s) = \bar{\sigma}(s)s \left( \frac{J_0 + J_1}{s} - \frac{J_1\tau_1}{s\tau_1 + 1} \right) := \bar{\sigma}(s)s\bar{J}(s), \quad \bar{J}(s) = \left( \frac{J_0 + J_1}{s} - \frac{J_1\tau_1}{s\tau_1 + 1} \right) \quad (20-3)$$

اگر رابطه فوق به صورت زیر نوشته شود

$$\bar{\varepsilon}(s) = \bar{\sigma}(s)(s\bar{J}(s) - J(0)) + \bar{\sigma}(s)J(0), \quad \bar{J}(s) = \left( \frac{J_0 + J_1}{s} - \frac{J_1\tau_1}{s\tau_1 + 1} \right) \quad (21-3)$$

<sup>۱</sup> convolution integral

آنگاه با توجه به (۱۵-۳)، به صورت زیر قابل تبدیل خواهد بود.

$$\bar{\varepsilon}(s) = \bar{\sigma}(s)L\left(\frac{dJ(t)}{dt}\right) + \bar{\sigma}(s)J(0), \quad J(t) = J_0 + J_1\left(1 - e^{-\frac{t}{\tau_1}}\right) \quad (22-3)$$

و با توجه به خاصیت (۱۷-۳) به فرم زیر در خواهد آمد

$$\bar{\varepsilon}(s) = L\left(\sigma(t) * \frac{dJ(t)}{dt}\right) + \bar{\sigma}(s)J(0), \quad J(t) = J_0 + J_1\left(1 - e^{-\frac{t}{\tau_1}}\right) \quad (23-3)$$

که در حقیقت این رابطه، تبدیل لاپلاس گرفته شده از رابطه زیر است.

$$\varepsilon(t) = \sigma(t)J(0) + \int_0^t \sigma(t-s) \frac{dJ(s)}{ds} ds, \quad J(t) = J_0 + J_1\left(1 - e^{-\frac{t}{\tau_1}}\right) \quad (24-3)$$

در استفاده از رابطه انتگرالی بین تنش و کرنش ارایه شده در (۲۴-۳)، برای سادگی، می‌توان یک اپراتور جدید و ساده کننده بنام اپراتور استیلیس کانولوشن<sup>۱</sup> تعریف کرد[3]. این اپراتور از دوتابع ( $Q(t)$ ) و استیلیس کانولوشن را به صورت زیر ارایه می‌نماید.

$$G * dQ(t) := G(t)Q(0) + \int_0^t G(t-s) \frac{dQ(s)}{ds} ds \quad (25-3)$$

بنابراین، رابطه (۲۴-۳) به صورت ساده شده زیر قابل نوشتن است.

<sup>1</sup>Stieltjes convolution operator

$$\varepsilon(t) = \sigma * dJ(t), \quad J(t) = J_0 + J_1 \left( 1 - e^{-\frac{t}{\tau_1}} \right) \quad (26-3)$$

رابطه (۲-۳) که برای یک مدل تعمیم یافته کلوین-ویت ارایه گردید و برای یک مدل سه پارامتری کلوین-ویت در قسمت‌های قبل اثبات شد بیانگر این است که کل کرنش در یک سیستم با مصالح ویسکوالاستیک از دو جزء الاستیک و ویسکوالاستیک تشکیل شده است. بخش ویسکوالاستیک تابعی از کل تاریخچه بارگذاری واردہ بر سیستم و توابع خرش تطابقی می‌باشد. پاسخ ویسکوالاستیک در حقیقت از روی هم انباشته شدن پاسخ‌های جزئی مربوط به هر جزء بارگذاری از ابتدا تا لحظه فعلی بدست می‌آید.

### ۱-۱-۱-۳- تشریح کرنش محیطی در لوله‌های ویسکوالاستیک

فشار سیال درون لوله باعث ایجاد تنفس محیطی<sup>۱</sup> می‌گردد. این تنفس به نوبه خود باعث ایجاد کرنش محیطی<sup>۲</sup> می‌شود که از دو قسمت الاستیک (آنی) و ویسکوالاستیک (تاخیری) تشکیل شده است. این مفهوم فیزیکی به وسیله معادلات دیفرانسیلی پیوستگی و مومنتم برای سیال درون لوله مدلسازی می‌شود. در عمل جریان پایدار در سیستم لوله برای زمانی طولانی برقرار می‌شود بنابراین هد مربوط به جریان پایدار  $H_0$ , تنها باعث ایجاد پاسخ استاتیکی در سازه سیستم می‌گردد. با توجه به اینکه در تحلیل ضربه قوچ، پاسخ دینامیکی مورد نظر است هد دینامیکی سیال  $H_0 - \tilde{H}$  باید در فرمول‌ها به عنوان عامل ایجاد تنفس در سیستم در نظر گرفته شود. با استفاده از این بارگذاری دوجمله شامل انتگرال کانولوشن که با  $I_{\tilde{H}}^c$  و  $I_{\tilde{H}}^r$  نشان داده شده اند برای محاسبه کرنش محیطی به کار گرفته می‌شوند:

<sup>۱</sup>circumferential(Hoop stress)

<sup>۲</sup>circumferential(Hoop stress)

$$I_H^c = \int_0^t \tilde{H}(t-s) \frac{dJ(s)}{ds} ds = \sum_{k=1}^{N_{kv}} \left( \frac{J_k}{\tau_k} \int_0^t \tilde{H}(t-s) e^{-\frac{s}{\tau_k}} ds \right) = \sum_{k=1}^{N_{kv}} I_{Hk}^c \quad (27-3)$$

$$I_H^r = \int_0^t \tilde{H}(t-s) \frac{dE_{R(s)}}{ds} ds = \sum_{k=1}^{N_{kv}} \left( \frac{E_{Rk}}{\tau_k^r} \int_0^t \tilde{H}(t-s) e^{-\frac{s}{\tau_k^r}} ds \right) = \sum_{k=1}^{N_{kv}} I_{Hk}^r \quad (28-3)$$

عبارت (۲۷-۳) و (۲۸-۳) در بخش‌های بعد جهت استخراج معادلات دیفرانسیل حاکم، به کار گرفته خواهند شد.

### ۲-۱-۱-۳- روابط تنش- کرنش ویسکوالاستیک در حالت سه بعدی

رابطه (۲۴-۳) تنها در بارگذاری یک بعدی صادق است و چنانچه بارگذاری در حالت سه بعدی مورد نظر باشد تغییر شکل‌ها به علت نسبت پواسن  $\nu$  که یکی از مشخصه‌های بسیار مهم مصالح می‌باشد و در مواد ویسکوالاستیک تابعی از زمان است هم باید در نظر گرفته شوند. بنابراین بر طبق فرمولاسیون تعریف شده برای استیلیس کانولوشن (عبارت (۲۵-۳)) رابطه بنیادی بین تنش و کرنش در جهت محوری  $z$  در یک دستگاه مختصات استوانه‌ای به صورت زیر خواهد بود.

$$\varepsilon_z = \sigma_z * dJ - (\varepsilon_\phi + \varepsilon_r) * dv = \sigma_z * dJ - (\sigma_\phi * dJ) * dv - (\sigma_r * dJ) * dv. \quad (29-3)$$

در اینجا دو فرض ساده کننده اساسی در فرمول در نظر گرفته می‌شود.

اول اینکه با توجه به ویژگیهای لوله‌های جدار نازک ( $\sigma_r = \tilde{P}D/2e$ ) که در آن  $\tilde{P}$  نشان دهنده فشار دینامیکی می‌باشد) از  $\sigma_r$  در مقایسه با  $\sigma_\phi$  صرف‌نظر می‌شود. با توجه به این امر رابطه (۲۹) به صورت زیر در می‌آید.

$$\varepsilon_z = \sigma_z * dJ - (\sigma_\emptyset * dv) * dJ \quad (30-3)$$

و رابطه زير که در جهت  $\phi$  برقرار می باشد:

$$\varepsilon_\emptyset = \sigma_\emptyset * dJ - (\sigma_z * dv) * dJ \quad (31-3)$$

و فرضیه مهم دوم اعمال شده در اين پژوهش اين است که لوله کاملاً در جهت محوري مهارشده است بنابراین  $\varepsilon_z = 0$ . لذا از معادله (30-3) نتیجه می شود:

$$\sigma_z * dJ = (\sigma_\emptyset * dv) * dJ \quad (32-3)$$

اگر از معادله بالا، لاپلاس بگيريم، داريم:

$$s\bar{\sigma}_z\bar{J} = s(\overline{\sigma_\emptyset * dv})J = s(s\bar{\sigma}_\emptyset\bar{v})\bar{J} \quad (33-3)$$

همچنین اگر از معادله (31-3)، لاپلاس بگيريم، خواهيم داشت:

$$\begin{aligned} \bar{\varepsilon}_\emptyset &= s\bar{\sigma}_\emptyset\bar{J} - s(\overline{\sigma_z * dv})\bar{J} = s\bar{\sigma}_\emptyset\bar{J} - s^2\bar{\sigma}_z\bar{v}\bar{J} = s\bar{\sigma}_\emptyset\bar{J} - s\bar{v}(s^2\bar{\sigma}_\emptyset\bar{v}\bar{J}) \Rightarrow \\ \bar{\varepsilon}_\emptyset &= s\bar{\sigma}_\emptyset\bar{J} - s^3\bar{v}^2\bar{\sigma}_\emptyset\bar{J} \end{aligned} \quad (34-3)$$

با توجه به تئوري الاستيسيته در مواد ويسکوالاستيك جامد که مدول بالک ثابت دارند، نسبت پواسن به صورت زير به دست می آيد:

$$\nu(t) = \frac{1}{2} - \frac{E_R(t)}{6k_0} \quad (35-3)$$

که  $E_R(t)$  تابع ریلکسیشن و  $k_0$  مدول بالک مواد دیواره لوله می باشد.

اگر از معادله (35-3) لاپلاس بگیریم، داریم:

$$\bar{\nu} = \frac{1}{2s} - \frac{\bar{E}_R}{6k_0} \quad (36-3)$$

حال مقدار  $\bar{\nu}$  بدست آمده از فرمول (36-3) را در معادله (34-3) جایگذاری می کنیم، بنابراین:

$$\begin{aligned} \bar{\varepsilon}_\emptyset &= s\bar{\sigma}_\emptyset\bar{J} - s^3\bar{\sigma}_\emptyset\bar{J} \left( \frac{1}{2s} - \frac{\bar{E}_R}{6k_0} \right)^2 = s\bar{\sigma}_\emptyset\bar{J} - s^3\bar{\sigma}_\emptyset\bar{J} \left( \frac{1}{4s^2} - \frac{\bar{E}_R}{6k_0}s + \frac{\bar{E}_R^2}{36k_0^2} \right) \\ &\Rightarrow \bar{\varepsilon}_\emptyset = s\bar{\sigma}_\emptyset\bar{J} - \frac{s\bar{\sigma}_\emptyset\bar{J}}{4} + \frac{s^2\bar{J}\bar{E}_R\bar{\sigma}_\emptyset}{6k_0} - \frac{s^3\bar{\sigma}_\emptyset\bar{J}\bar{E}_R^2}{36k_0^2} \end{aligned} \quad (37-3)$$

می دانیم رابطه بین  $J$  و  $E_R$  به صورت  $J * dE_R = 1$  تعریف می شود [13]. اگر از رابطه مذکور لاپلاس بگیریم، داریم:

$$J * dE_R = 1 \Rightarrow s\bar{J}\bar{E}_R = \frac{1}{s} \Rightarrow s^2\bar{J}\bar{E}_R = 1 \quad (38-3)$$

در فرمول (37-3)، بجای عبارت  $s^2\bar{J}\bar{E}_R$ ، مقدار یک را قرار می دهیم. در نتیجه معادله (37-3)، به صورت ساده شده زیر بدست می آید:

$$\bar{\varepsilon}_\emptyset = \frac{3}{4} s \bar{\sigma}_\emptyset \bar{J} + \frac{\bar{\sigma}_\emptyset}{6K_0} - \frac{s \bar{\sigma}_\emptyset \bar{E}_R}{36K_0^2} \quad (39-3)$$

نهایتاً از فرمول بالا لaplac معکوس می‌گیریم لذا کرنش محیطی به صورت زیر بدست می‌آید.

$$\varepsilon_\emptyset = \frac{3}{4} \sigma_\emptyset * dJ + \frac{\sigma_\emptyset}{6K_0} - \frac{\sigma_\emptyset * dE_R}{36K_0^2} \quad (40-3)$$

در ادامه از مشتق زمانی این معادله در ترم اضافی ایجاد شده در معادله پیوستگی استفاده خواهد شد.

### ۳-۱-۱-۳- تست خزش و تعیین توابع تطبیقی خزش

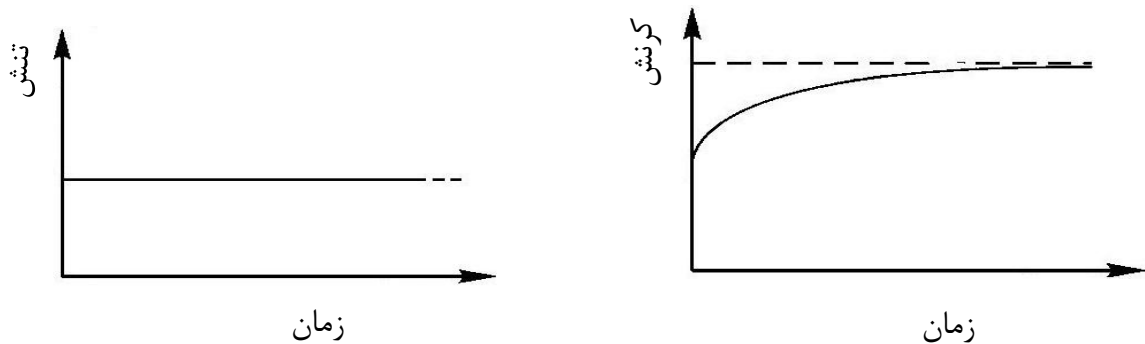
جهت درک عمیقتر ماهیت مواد ویسکوالاستیک، پاسخ یک نمونه به یک تست خزش در شکل (۲-۳) و همچنین یک تست رها سازی در شکل (۳-۳) نشان داده شده است. در تست خزش، یک تنש تک محوری ثابت به نمونه وارد می‌گردد بدون اینکه در نمونه ارتعاشی ایجاد شود (بارگذاری شبه استاتیکی).

در تست رها سازی به نمونه یک کرنش ثابت اعمال می‌شود.

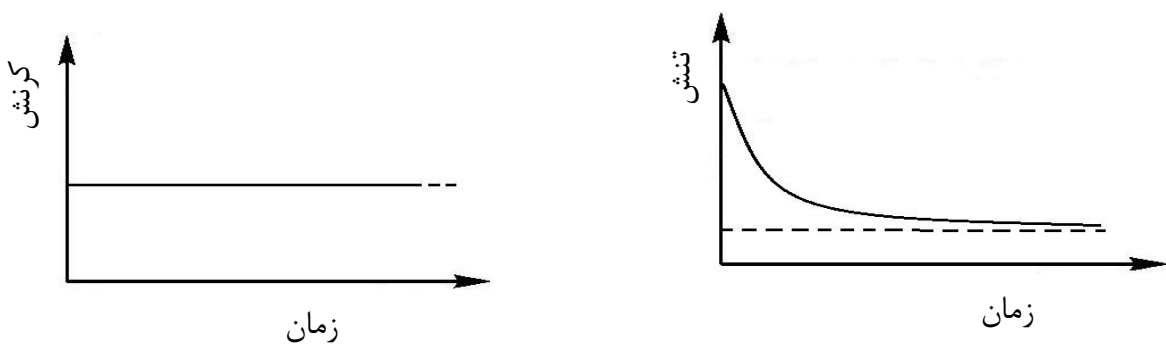
برای یک تست خزش برابر با معادله (۲۶-۳) می‌توان نوشت:

(41-3)

$$\varepsilon = \sigma_0 * dJ = \sigma_0 \left( J_0 + \sum_{k=1}^{N_{KV}} J_k \left( 1 - e^{-\frac{t}{\tau_k}} \right) \right), \quad \lim_{t \rightarrow \infty} \varepsilon = \sigma_0 J_0 + \sigma_0 \sum_{k=1}^{N_{KV}} J_k = \varepsilon_0 + \sigma_0 \sum_{k=1}^{N_{KV}} J_k = \sigma_0 \sum_{k=0}^{N_{KV}} J_k = \varepsilon_\infty$$



شکل (۲-۳) : تست خزش در یک میله ویسکوالاستیک



شکل (۳-۳) : تست رهاسازی در یک میله ویسکوالاستیک

این مثال تفاوت پاسخ‌های شبه استاتیکی الاستیک و ویسکوالاستیک را زمانی که نمونه تحت یک تنש محوری ثابت قرار گرفته باشد، نشان می‌دهد. همان طور که مشاهده می‌شود در یک پاسخ ویسکوالاستیک علاوه بر یک پاسخ آنی که به عنوان کرنش الاستیک خوانده می‌شود و در شکل با<sup>۴</sup> نشان داده شده است، بخش دیگری از کرنش در طول زمان اتفاق می‌افتد و با گذر زمان به سمت یک مقدار ثابت<sup>۵</sup> همگرا می‌شود ( فقط در مواد ویسکوالاستیک خطی اینگونه است). این کرنش اخیر که در

طول زمان رخ می‌دهد به عنوان خزش<sup>۱</sup> خوانده می‌شود. مکانیزم این تغییر شکل به ساختار مولکولی زنجیرهای در پلیمرها مربوط می‌شود. بارگذاری پیوسته به تدریج منجر به جمع شدن جزء کرنش‌های ایجاد شده در اثر باز شدن و لغزش زنجیرهای مولکولها می‌شود به گونه‌ای که در نهایت ماده مورد نظر، متناسب با بار وارد بر آن به یک آرایش مولکول جدید دست می‌یابد. پاسخ دینامیکی یک ماده ویسکوالاستیک به یک بارگذاری ثابت (تنش ثابت) در بخش‌های بعد بررسی خواهد شد [۲][۱۵].

برای یافتن رفتار خزشی یک ماده ویسکوالاستیک راهی بجز انجام تست هایی که این ویژگیها را به صورت کمی تعیین نماید وجود ندارد. زیرا این رفتار به طور مستقیم به ساختار مولکولی مواد، درجه حرارت محیط و تاریخچه بارگذاری وارد بر آن ماده مربوط می‌شود. برای اندازه گیری این ویژگی تابعی بنام تابع خزش تطابقی که به شکل فرمول  $(\tau - \tau_0) / (\tau_0 - \tau_{\infty}) = e^{-E_a / RT}$  می‌باشد تعریف می‌گردد. علت نامگذاری "خزش تطابقی" ماهیت تغییر مکان تدریجی در زمان که از تطبیق آنها با مقادیر اندازه گیری شده آزمایشگاهی تعیین می‌شوند، می‌باشد.

در بحث آنالیز ضربه قوچ در لوله‌های ویسکوالاستیک به طور کلی دو راه حل جهت تعیین ضرایب توابع خزش تطابقی ( $J_K$  و  $\tau_K$  در فرمول  $\tau = \tau_0 + J_K e^{-E_a / RT}$ ) وجود دارد که می‌توان آنها را به عنوان روش مستقیم و غیر مستقیم نامید. در روش اول یک آزمایش مشابه آنچه پیشتر توضیح داده شده (تست خزش) یا یک آزمایش رهاسازی (که در آن پس از ایجاد یک کرنش ثابت در نمونه، کاهش تدریجی تنش در طول زمان اندازه گیری می‌شود) بر روی نمونه‌ای از جنس مواد تشکیل دهنده لوله انجام می‌گیرد و به این ترتیب بوسیله توابع خزش تطابقی خواص آن ماده ذخیره می‌گردد. در روش دیگر (روش غیر مستقیم) که بوسیله کواس و همکاران [۱-۳,۵] پیشنهاد گردید ضرایب توابع خزش تطابقی به گونه‌ای تعیین می‌

<sup>۱</sup> creep

گردد که زمانی که این توابع جهت حل جریان ناپایدار در سیستم لوله به کار گرفته می‌شوند بتوانند فشارهایی تا حد ممکن نزدیک به مقادیر اندازه گیری شده آزمایشگاهی تولید نمایند. علت نامگذاری غیر مستقیم برای این روش این است که ویژگیهای فیزیکی مصالح لوله بجای انجام تست‌های مستقیم بر روی مصالح، بوسیله انجام تست بر روی جریان سیال به طور غیر مستقیم تعیین می‌گردد. این روش که به عنوان کالیبراسیون توابع خزش به وسیله جریان گذرا خوانده می‌شود از دقت بیشتری در آنالیزهای ضربه قوچ و تداخل سیال – سازه برخوردار می‌باشد زیرا بدینوسیله اثرات تاریخچه بارگذاریهای قبلی برروی سیستم لوله و همچنین اثرات حرارت و محیط و شکل سیستم لوله که در تست‌های مستقیم به درستی وارد نمی‌گردد هم در اینجا در تعیین ضرایب به کار گرفته می‌شوند.

پس از کالیبراسیون و تعیین ضرایب توابع خزش برای یک سیستم لوله خاص، می‌توان بوسیله مدلسازی ریاضی و روش‌های عددی پیشنهاد شده در این تحقیق، پیش‌بینی دقیقی از پدیده تداخل سیال – سازه در سیستم‌های لوله ویسکوالاستیک ارایه داد. بنابراین در حالت کلی توابع خزش به عنوان بخشی از داده‌های ورودی ضروری جهت انجام آنالیز می‌باشند.

### ۲-۱-۳- معادلات پیوستگی و مومنتم سیال

برای بدست آوردن معادلات فوق برای یک سیستم لوله، معادلات ناویر- استوکس در حالت دو بعدی در دستگاه مختصات استوانه‌ای  $r-z$  نوشته می‌شود. این معادلات شامل یک معادله پیوستگی و دو معادله مومنتم در جهت‌های محوری و شعاعی با متغیرهای سرعت محوری  $V_z$ ، سرعت شعاعی  $V_r$ ، فشار سیال  $P$  و دانسیته سیال  $\rho$  می‌باشند. به علاوه، یک معادله حالت، فشار و دانسیته سیال را به هم مربوط می‌کند.

جهت رسیدن به یک فرمول بندی یک بعدی سازگار با معادلات کلاسیک چکش آبی، معادلات ناویر- استوکس مذکور در  $2\pi r$  ضرب شده و سپس از ۰ تا شعاع لوله  $R$  انتگرالگیری می‌شوند و سپس

نتیجه بر  $\pi R^2$  تقسیم می‌شود. با این کار تمام جملات موجود در معادلات ناویر - استوکس از حالت دو بعدی برحسب  $t, z, r$  به یک بعدی برحسب  $t, z$  تبدیل می‌شوند. با این کار، معادله پیوستگی به صورت

$$\frac{\partial V}{\partial z} + \frac{1}{K} \frac{\partial P}{\partial t} + \frac{2}{R} \dot{u}_r \Big|_{r=R} = 0, \quad \dot{u}_r \Big|_{r=R} = V_r \Big|_{r=R} \quad (42-3)$$

و معادله مومنتم در جهت محوری به صورت

$$\frac{\partial V}{\partial t} + \frac{1}{\rho_f} \frac{\partial P}{\partial z} = - \frac{2}{\rho_f R} \tau_0 + g \sin \theta \quad (43-3)$$

خواهد بود. که در آن سرعت  $V$  و فشار  $P$  به صورت زیر می‌باشند.

$$V = \frac{1}{\pi R^2} \int_0^R 2\pi r v_z dr \quad (44-3)$$

$$P = \frac{1}{\pi R^2} \int_0^R 2\pi r p dr \quad (45-3)$$

که در آن  $v_z$  و  $p$  به ترتیب توابع توزیع سرعت و فشار در مقطع جریان می‌باشند. در این روابط  $z$  امتداد محور لوله،  $t$  زمان،  $g$  شتاب گرانش زمین،  $R$  شعاع داخلی لوله و  $\rho_f$  دانسیته سیال است.

کرنش محیطی در دستگاه مختصات استوانه‌ای به صورت  $\varepsilon_\phi = \frac{u_r}{r}$  تعریف می‌شود که با توجه به

محدود بودن امتداد شعاعی  $r$  به دیواره داخلی تا دیواره بیرونی لوله، می‌توان نوشت:

$$\varepsilon_\phi = \frac{u_r}{r} \rightarrow u_r = r \varepsilon_\phi, \quad R \leq r \leq R + e \rightarrow r \approx R \rightarrow u_r = R \varepsilon_\phi \quad (46-3)$$

در این صورت آخرین ترم در معادله پیوستگی (42-3)، به صورت زیر نوشته می‌شود.

$$\frac{2}{R} \dot{u}_r \Big|_{r=R} = \frac{2}{R} \frac{\partial}{\partial t} (R \varepsilon_\phi) \Big|_{r=R} = 2 \frac{\partial \varepsilon_\phi}{\partial t} \quad (47-3)$$

بنابراین معادله پیوستگی (42-3) با فرض  $R < e$  به صورت زیر خواهد بود.

$$\frac{\partial V}{\partial z} + \frac{1}{K} \frac{\partial P}{\partial t} + 2 \frac{\partial \varepsilon_\phi}{\partial t} = 0 \quad (48-3)$$

با توجه به رابطه سه بعدی تنش - کرنش در مواد ویسکوالاستیک در جهت  $\phi$  و فرضیات لوله‌های

$$\text{جدار نازک به صورت } \tilde{P} = P - P_0 \quad \sigma_\phi = \frac{D\tilde{P}}{2e}$$

$P_0$  فشار جریان ماندگار می‌باشد) و با فرض متغیر بودن نسبت پواسن  $\nu = \frac{1}{2}$  و کوچک بودن  $\sigma_r$  مقایسه با  $\sigma_\phi$ ، همچنین معادله (40-3) را در معادله پیوستگی (48-3) جایگذاری کنیم، داریم:

$$\begin{aligned} & \frac{1}{A} \frac{\partial Q}{\partial z} + \frac{\rho g}{K} \frac{\partial H}{\partial t} + \frac{3\rho g D}{4eE} \frac{\partial H}{\partial t} + \frac{3\rho g D}{4e} \frac{\partial}{\partial t} (H * dJ) + \frac{\rho g D}{6ek_0} \frac{\partial H}{\partial t} - \frac{\rho g D E_0}{36ek_0^2} \frac{\partial H}{\partial t} \\ & - \frac{\rho g D}{36ek_0^2} \frac{\partial}{\partial t} (H * dE_R) = 0 \end{aligned} \quad (49-3)$$

که به کمک معادلات (27-3) و (28-3) و اپراتور استلیس کانولوشن، این معادله به صورت زیر نوشته می‌شود:

$$\frac{1}{A} \frac{\partial Q}{\partial z} + \frac{g}{c^2} \frac{\partial H}{\partial t} = - \frac{3\rho g D}{4e} \frac{\partial I_H^c}{\partial t} + \frac{\rho g D}{36ek_0^2} \frac{\partial I_H^r}{\partial t} \quad (50-3)$$

در این رابطه  $f$  ضریب اصطکاک دارسی - وايسباخ،  $D$  قطر داخلی لوله،  $v$  نسبت پواسن،  $\rho_f$  دانسیته سیال  $e$  ضخامت دیواره لوله و  $I_H$  ضریب کرنش محیطی تأخیری<sup>1</sup> است که با رابطه (25-3) داده می‌شود.

<sup>1</sup> Retarded circumferential strain

نیز سرعت موج فشاری است که با رابطه زیر محاسبه می‌گردد.

$$c = \left( \rho \left( \frac{1}{K} + \frac{3D}{4eE} + \frac{D}{6ek_0} + \frac{DE_0}{36ek_0^2} \right) \right)^{\frac{1}{2}} \quad (51-3)$$

که در آن  $E$  مدول الاستیک یانگ و  $K$  مدول بالک سیال می‌باشد.

در معادله مونتم سیال (43-3)، تنش برش  $\tau_0$  معادل این تنش در حالت جریان پایدار فرض می‌گردد که این به عنوان مدل اصطکاک شبه ماندگار<sup>۱</sup> خوانده می‌شود در این صورت خواهیم داشت.

$$\tau_0 = \rho_f f \frac{V_{\text{rel}} |V_{\text{rel}}|}{8} \quad (52-3)$$

که در آن  $V_{\text{rel}}$  سرعت نسبی سیال درون لوله نسبت به دیوار داخلی لوله می‌باشد که برابر با  $V - \dot{u}_z$  است. که در این  $V$  سرعت مطلق سیال،  $\dot{u}_z$  سرعت مطلق دیواره لوله و  $f$  ضریب افت دارسی وايسپاخ می‌باشد. چنانچه  $P$  در رابطه مومنتم با  $P = \gamma H - Z$ ، که در آن  $H$  هد فشار سیال و  $\gamma$  وزن حجمی سیال و  $Z$  رقوم نقطه مورد بررسی است، جایگزین گردد رابطه مومنتم (43-3) به صورت زیر قابل نوشتند خواهد بود.

$$\frac{\partial V}{\partial t} + g \frac{\partial H}{\partial z} = \frac{-fV|V|}{2D} \quad (53-3)$$

<sup>1</sup> Qusi-steady friction model

دو معادله پیوستگی و مومنتم سیال با استفاده از روش حل عددی خطوط مشخصه (MOC<sup>۱</sup>) جهت حل مساله بدون تداخل سیال - سازه به عنوان مثال در یک سیستم مخزن - لوله (الاستیک و یا ویسکوالاستیک) - شیر به کار گرفته می‌شوند. این کار در بخش بعد انجام شده است.

---

<sup>۱</sup> Method of characteristics

## فصل چهارم:

روشهای عددی

## مقدمه

در این قسمت می‌خواهیم روش حل عددی معادلات هیدرولیکی را بیان کنیم.

روش مشخصه‌ها بهترین روشی است که برای حل این معادلات وجود دارد و بدون شک در بین تمام روش‌های عددی دیگری که می‌توان استفاده کرد، جواب‌های دقیق‌تر و سریع‌تری می‌دهد. علت دقت و سرعت بالای این روش این است که به نوعی می‌توان گفت این روش یک روش نیمه تحلیلی است و جواب معادله دیفرانسیل را با یک حل تحلیلی روی خطوط مشخصی، تقریباً به طور دقیق می‌دهد.

با این همه از روش‌های عددی متنوع شناخته شده دیگر نیز می‌توان برای بررسی این معادلات استفاده کرد. به عنوان مثال یک روش تفاضل محدود توسط مک‌کرمک<sup>۱</sup> معرفی شده است که می‌توان از آن جواب‌های قابل قبولی به دست آورد. در روش دیگری، دو معادله پیوستگی و مومنتم را با هم ترکیب کرده و یک معادله دیفرانسیل مرتبه دو نسبت به زمان و مکان به دست می‌آورند. (شبیه معادله موج) البته برای استفاده از این روش، مشکلاتی در اعمال شرایط مرزی برای سرعت و فشار وجود خواهد داشت. ولی حل معادله موج حاصله به سادگی با روش اجزای محدود یا تفاضل محدود امکان‌پذیر خواهد بود.

در روش‌های دیگری، می‌توان معادلات پیوستگی و مومنتم را در بعد مکان گسسته‌سازی کرد (مثلاً با روش اجزای محدود) و یک دستگاه از معادلات دیفرانسیل معمولی<sup>۲</sup>، نسبت به زمان به دست آورد. این دستگاه معادلات که در حقیقت هر یک از آنها مربوط به یک گره می‌باشد را می‌توان با روش‌های استاندارد حل دستگاه معادلات دیفرانسیل معمولی، مثل روش رانج کوتا و ... حل نمود و جواب هر گره

---

<sup>۱</sup>MacCormak Method

<sup>۲</sup>Ordinary differential equation

را در هر زمان به دست آورده.<sup>[۳]</sup>

اما با همه این روش‌ها، همچنان از روش خطوط مشخصه به دلیل سرعت بالا و جواب دقیقترش استفاده می‌شود.<sup>۱</sup> و بهمین دلیل مطالعات زیادی برای بهبود و تکامل روش خطوط مشخصه و گرفتن جوابهای دقیقتر از آن (هر چند اندک) صورت گرفته است.

فرایند حل عددی برای حالتی که اثرات ویسکوالاستیک در نظر گرفته می‌شود شبیه به حالت الاستیک است که پیشتر توسط محققان مختلف، تایسلینگ، ویگرت، هاینسبروک، جزایری و کرامت بررسی شده است. تنها تفاوت در نحوه محاسبه ترمهای شامل انتگرال کانولوشن است که برای مدسازی تغییر شکل‌های ویسکوالاستیک (تاخیری<sup>۱</sup>) به معادلات حاکم اضافه شده‌اند.

#### ۴-۱- تقریب ترم‌های انتگرال کانولوشن

در سمت راست معادله (۳-۵۰) عبارت‌هایی متشکل از فرم خاصی از مجھولات وجود دارد. ترم‌های دارای انتگرال کانولوشن به صورت زیر بازنویسی می‌شوند:

(۱-۴)

$$\begin{aligned} \frac{\partial I_H^c}{\partial t} &= \sum_{k=1}^{N_{kv}} \frac{\partial I_{Hk}^c}{\partial t} = \sum_{k=1}^{N_{kv}} \frac{J_k}{\tau_k} \frac{\partial}{\partial t} \left( \int_0^t \tilde{H}(t-s) e^{-\frac{s}{\tau_k}} ds \right) \\ &= \sum_{k=1}^{N_{kv}} \frac{J_k}{\tau_k} \left( -\frac{1}{\tau_k} \int_0^t \tilde{H}(t-s) e^{-\frac{s}{\tau_k}} ds + \tilde{H}(t) \right) \\ &= \sum_{k=1}^{N_{kv}} \left( -\frac{I_{Hk}^c(t)}{\tau_k} + \frac{J_k}{\tau_k} \tilde{H}(t) \right) \end{aligned}$$

$$\begin{aligned}
\frac{\partial I_{\tilde{H}}^r}{\partial t} &= - \sum_{k=1}^{N_{kv}} \frac{\partial I_{\tilde{H}k}^r}{\partial t} = - \sum_{k=1}^{N_{kv}} \frac{E_{Rk}}{\tau_k^r} \frac{\partial}{\partial t} \left( \int_0^t \tilde{H}(t-s) e^{-\frac{s}{\tau_k^r}} ds \right) \\
&= - \sum_{k=1}^{N_{kv}} \frac{E_{Rk}}{\tau_k^r} \left( -\frac{1}{\tau_k^r} \int_0^t \tilde{H}(t-s) e^{-\frac{s}{\tau_k^r}} ds + \tilde{H}(t) \right) \\
&= - \sum_{k=1}^{N_{kv}} \left( -\frac{I_{\tilde{H}k}^r(t)}{\tau_k^r} + \frac{E_{Rk}}{\tau_k^r} \tilde{H}(t) \right)
\end{aligned} \tag{۲-۴}$$

جهت انجام آنالیز در حوزه زمان، این عبارت‌ها بایستی به صورت عبارت‌های مستقیمی از مجھولات نوشته شوند. در غیر اینصورت با یک سری معادلات انتگرال روبرو خواهیم بود که حل عددی آنها بسیار هزینه برخواهد بود. جهت نوشتن عبارات مذکور بر حسب مجھولات، ساده‌ترین راه نوشتن آنها به صورت عبارت‌هایی از مجھولات در گام زمانی فعلی و مقادیر محاسبه شده در گام‌های زمانی قبل می‌باشد. این امر با استفاده از دو فرمول اول، چنانچه داشته باشیم

$$f_k(t) = \frac{J_k}{\tau_k} \int_0^t g(t-s) e^{\frac{-s}{\tau_k}} ds$$

$$\frac{df_k(t)}{dt} = -\frac{f_k(t)}{\tau_k} + \frac{J_k}{\tau_k} g(t) \tag{۳-۴}$$

فرمول دوم، تقریب بسیار خوبی برای انتگرال کانولوشن ظاهر شده در روابط ارایه می‌نماید که با استفاده از یک رابطه برگشتی پیاده‌سازی می‌شود:

$$f_k(t) \approx g(t) \left( J_k + \frac{J_k \tau_k}{\Delta t} \left( e^{\frac{-\Delta t}{\tau_k}} - 1 \right) \right) + g(t - \Delta t) \left( -J_k e^{\frac{-\Delta t}{\tau_k}} - \frac{J_k \tau_k}{\Delta t} \left( e^{\frac{-\Delta t}{\tau_k}} - 1 \right) \right) + e^{\frac{-\Delta t}{\tau_k}} f_k(t - \Delta t) \tag{۴-۴}$$

قابل ذکر است که تقریب بکار رفته در استخراج رابطه تقریبی (۴-۴) از درجه اول می باشد.

جهت ارایه مشتق نسبت به  $t$  از فرم جاری انتگرال کانولوشن که در معادلات حاکم وجود دارد،

از معادله (۴-۴) را می توان در معادله (۳-۴) جایگزین نمود. در این صورت خواهیم داشت.

$$\frac{df_k(t)}{dt} \approx g(t) \left( \frac{J_k}{\Delta t} \left( 1 - e^{-\frac{\Delta t}{\tau_k}} \right) \right) + g(t - \Delta t) \left( \frac{J_k}{\tau_k} e^{\frac{-\Delta t}{\tau_k}} - \frac{J_k}{\Delta t} \left( 1 - e^{-\frac{\Delta t}{\tau_k}} \right) \right) - \frac{e^{\frac{-\Delta t}{\tau_k}}}{\tau_k} f_k(t - \Delta t) \quad (5-4)$$

این رابطه و رابطه (۴-۴) در تقریب ترم‌های شامل انتگرال کانولوشن یا تقریب مشتق آنها در فرایند حل

عددی به کار گرفته می شوند. بنابراین داریم:

$$\begin{aligned} \frac{\partial I_{\tilde{H}}^c}{\partial t} &= (H(t) - H_0) \sum_{k=1}^{N_{kv}} \frac{J_k}{\Delta t} \left( 1 - e^{-\frac{\Delta t}{\tau_k}} \right) + \tilde{H}(t - \Delta t) \sum_{k=1}^{N_{kv}} \left( \frac{J_k}{\Delta t} e^{-\frac{\Delta t}{\tau_k}} - \frac{J_k}{\Delta t} \left( 1 - e^{-\frac{\Delta t}{\tau_k}} \right) \right) \\ &+ \sum_{k=1}^{N_{kv}} \frac{e^{-\frac{\Delta t}{\tau_k}}}{\tau_k} I_{\tilde{H}k}^c(t - \Delta t) = a_1^c H(t) + a_2^c \end{aligned} \quad (6-4)$$

$$\begin{aligned} \frac{\partial I_{\tilde{H}}^r}{\partial t} &= -(H(t) - H_0) \sum_{k=1}^{N_{kv}} \frac{E_k}{\Delta t} \left( 1 - e^{-\frac{\Delta t}{\tau_k^r}} \right) - \tilde{H}(t - \Delta t) \sum_{k=1}^{N_{kv}} \left( \frac{E_k}{\Delta t} e^{-\frac{\Delta t}{\tau_k^r}} - \frac{E_k}{\Delta t} \left( 1 - e^{-\frac{\Delta t}{\tau_k^r}} \right) \right) \\ &+ \sum_{k=1}^{N_{kv}} \frac{e^{-\frac{\Delta t}{\tau_k^r}}}{\tau_k^r} I_{\tilde{H}k}^r(t - \Delta t) := a_1^r H(t) + a_2^r \end{aligned} \quad (7-4)$$

برای بدست آوردن رابطه بالا باید رابطه زیر محاسبه شود.

$$\begin{aligned}
I_{\tilde{H}k}^c(t - \Delta t) &= \tilde{H}(t - \Delta t) \sum_{k=1}^{N_{kv}} \left( J_k - \frac{J_k \tau_k}{\Delta t} \left( 1 - e^{-\frac{\Delta t}{\tau_k}} \right) \right) \\
&+ \tilde{H}(t - 2\Delta t) \sum_{k=1}^{N_{kv}} \left( -J_k e^{-\frac{\Delta t}{\tau_k}} - \frac{J_k \tau_k}{\Delta t} \left( 1 - e^{-\frac{\Delta t}{\tau_k}} \right) \right) \\
&+ \sum_{k=1}^{N_{kv}} e^{-\frac{\Delta t}{\tau_k}} I_{\tilde{H}k}^c(t - 2\Delta t)
\end{aligned} \tag{8-۴}$$

$$\begin{aligned}
I_{\tilde{H}k}^r(t - \Delta t) &= -\tilde{H}(t - \Delta t) \sum_{k=1}^{N_{kv}} \left( E_k - \frac{E_k \tau_k^r}{\Delta t} \left( 1 - e^{-\frac{\Delta t}{\tau_k^r}} \right) \right) \\
&- \tilde{H}(t - 2\Delta t) \sum_{k=1}^{N_{kv}} \left( -E_k e^{-\frac{\Delta t}{\tau_k^r}} - \frac{E_k \tau_k^r}{\Delta t} \left( 1 - e^{-\frac{\Delta t}{\tau_k^r}} \right) \right) \\
&+ \sum_{k=1}^{N_{kv}} e^{-\frac{\Delta t}{\tau_k^r}} I_{\tilde{H}k}^r(t - 2\Delta t).
\end{aligned} \tag{9-۴}$$

## ۲-۱- حل عددی با روش MOC

در این قسمت می‌خواهیم معادلات هیدرولیکی را که به صورت (۱۰-۴) و (۱۱-۴) می‌باشند، با روش خطوط مشخصه حل نماییم.

$$L_1 : \frac{\partial V}{\partial z} + g \frac{\partial H}{\partial t} + \frac{3\rho_f g D}{4e} \frac{\partial I_{\tilde{H}}^c}{\partial t} - \frac{\rho_f g D}{36ek_0^2} \frac{\partial I_{\tilde{H}}^r}{\partial t} = 0 \tag{10-۴}$$

$$L_2 : \frac{\partial V}{\partial t} + g \frac{\partial H}{\partial z} + \frac{fV|V|}{2D} = 0 \tag{11-۴}$$

در این روش ابتدا معادلات دیفرانسیل جرئی پیوستگی و اندازه حرکت، بر روی مسیرهایی به معادلات دیفرانسیل کامل تبدیل می‌شوند و سپس بوسیله روش تفاضل محدود صریح<sup>۱</sup> حل می‌شوند.

چون در این روش هر قسمت از لوله به صورت جداگانه تحلیل می‌شود، برای حل مسائل پیچیده مناسب‌تر است. البته عیب این روش این است که بازه‌های زمانی و مکانی باید نسبت به هم دارای تناسب خاصی باشند و به این دلیل بازه‌های زمانی باید وابسته به ابعاد مساله انتخاب شوند. در نهایت معادلات هذلولوی مذکور جهت حل به شرایط مرزی و شرایط اولیه نیاز دارند. شرایط اولیه برای جریان غیر ماندگار مذکور، مقادیر دبی و ارتفاع پیزومتریک در حالت ماندگار است. شرایط مرزی نیز با توجه به صورت مساله تعیین می‌شوند.

### روش حل

هدف این است که معادلات دیفرانسیل  $(10-4)$  و  $(11-4)$  را به دو یا چند معادله دیفرانسیل ساده‌تر که قابل حل به صورت تحلیلی باشند، تبدیل کنیم (منظور این است که به راحتی قابل انتگرالگیری باشند، به عبارت دیگر معادله دیفرانسیل کامل باشند). برای این کار پارامتر دلخواه  $\lambda$  را در نظر گرفته و یک ترکیب خطی از دو معادله  $L_1, L_2$  با استفاده از آن می‌سازیم. سپس دو مقدار دلخواه به  $\lambda$  می‌دهیم تا دو معادله دیفرانسیل دیگر، که ترکیبی از  $L_1, L_2$  هستند به دست آید.<sup>۲</sup> برای این کار به صورت زیر عمل می‌کنیم.

---

<sup>۱</sup> *Explicit Finite Difference*

<sup>۲</sup> از این روش برای حل دستگاه معادلات همزمان جبری نیز می‌توان استفاده کرد.

$$L_1 + \lambda L_2 = 0 \Rightarrow$$

$$\frac{\partial V}{\partial z} + \frac{g}{c_f^2} \frac{\partial H}{\partial t} + \frac{3\rho_f g D}{4e} \frac{\partial I_{\tilde{H}}^c}{\partial t} - \frac{\rho_f g D}{36ek_0^2} \frac{\partial I_{\tilde{H}}^r}{\partial t} + \lambda \left( \frac{\partial V}{\partial t} + g \frac{\partial H}{\partial z} + \frac{fV|V|}{2D} \right) = 0 \quad (12-4)$$

رابطه (12-4) را می‌توان به صورت (13-4) مرتب کرد.

$$\frac{g}{c_f^2} \frac{\partial H}{\partial t} + \lambda g \frac{\partial H}{\partial z} + \lambda \frac{\partial V}{\partial t} + \frac{\partial V}{\partial z} + \frac{\lambda fV|V|}{2D} + \frac{3\rho_f g D}{4e} \frac{\partial I_{\tilde{H}}^c}{\partial t} - \frac{\rho_f g D}{36ek_0^2} \frac{\partial I_{\tilde{H}}^r}{\partial t} = 0 \Rightarrow$$

$$\frac{g}{c_f^2} \left( \frac{\partial H}{\partial t} + \lambda c_f^2 \frac{\partial H}{\partial z} \right) + \lambda \left( \frac{\partial V}{\partial t} + \frac{1}{\lambda} \frac{\partial V}{\partial z} \right) + \frac{\lambda fV|V|}{2D} + \frac{3\rho_f g D}{4e} \frac{\partial I_{\tilde{H}}^c}{\partial t} - \frac{\rho_f g D}{36ek_0^2} \frac{\partial I_{\tilde{H}}^r}{\partial t} = 0 \quad (13-4)$$

از توجه به رابطه بدست آمده در (13-4) می‌توان دید که اگر ضرایب  $\frac{dx}{dt}$ ,  $\frac{\partial V}{\partial x}$ ,  $\frac{\partial H}{\partial x}$  عبارت باشد

می‌توان آن را به صورت یک معادله دیفرانسیل کامل (که فقط شامل دیفرانسیل نسبت به یک متغیر است، معادله دیفرانسیل معمولی) تبدیل کرد. لکن فعلاً بدون توجه به این مطلب، سعی می‌کنیم دو معادله دیفرانسیل از (13-4) به دست آوریم. برای این کار ضرایب  $\frac{\partial V}{\partial x}$ ,  $\frac{\partial H}{\partial x}$  را مساوی هم قرارمی‌دهیم تا دو مقدار برای  $\lambda$  به دست آید. فایده این کار را بعداً خواهیم دید.

$$\lambda c_f^2 = \frac{1}{\lambda} \Rightarrow \lambda = \pm \frac{1}{c_f^2} ; \quad (14-4)$$

به این ترتیب طبق رابطه (14-4) توانستیم دو مقدار برای  $\lambda$  پیدا کنیم، چون رابطه (13-4) به ازای تمام مقادیر دلخواه  $\lambda$  صادق بود از جایگذاری این دو مقدار در آن، دو معادله دیفرانسیل به صورت زیر (15-4) بدست می‌آید که بدون شک هم ارز دو معادله (10-4) و (11-4) می‌باشند.

$$\lambda = \frac{1}{c_f} \rightarrow \frac{g}{c_f^2} \left( \frac{\partial H}{\partial t} + c_f \frac{\partial H}{\partial z} \right) + \frac{1}{c_f} \left( \frac{\partial V}{\partial t} + c_f \frac{\partial V}{\partial z} \right) + \frac{fV|V|}{2Dc_f} + \frac{3\rho_f g D}{4e} \frac{\partial I_{\tilde{H}}^c}{\partial t} - \frac{\rho_f g D}{36ek_0^2} \frac{\partial I_{\tilde{H}}^r}{\partial t} = 0$$

$$\lambda = -\frac{1}{c_f} \rightarrow \frac{g}{c_f^2} \left( \frac{\partial H}{\partial t} - c_f \frac{\partial H}{\partial z} \right) - \frac{1}{c_f} \left( \frac{\partial V}{\partial t} - c_f \frac{\partial V}{\partial z} \right) - \frac{fV|V|}{2Dc_f} + \frac{3\rho_f g D}{4e} \frac{\partial I_{\tilde{H}}^c}{\partial t} - \frac{\rho_f g D}{36ek_0^2} \frac{\partial I_{\tilde{H}}^r}{\partial t} = 0 \quad (15-4)$$

بنابراین جواب دو معادله دیفرانسیل (۱۵-۴) همان جواب معادلات دیفرانسیل ضربه قوچ می‌باشد.

ولی این معادلات هم به سادگی قابل انتگرالگیری نیستند. اما با یک نگاه به معادله اول (۱۵-۴) در

می‌باید که اگر  $c_f = \frac{dz}{dt}$  باشد، این معادله به یک معادله دیفرانسیل کامل (که به راحتی قابل

انتگرالگیری و گسسته سازی است) تبدیل می‌شود. زیرا می‌دانیم که:

$$\frac{\partial H}{\partial t} + \frac{\partial H}{\partial z} \frac{dz}{dt} = \frac{dH}{dt}, \quad \frac{\partial V}{\partial t} + \frac{\partial V}{\partial z} \frac{dz}{dt} = \frac{dV}{dt} \quad (16-4)$$

همچنین در معادله دوم (۱۵-۴) اگر  $c_f = -\frac{dz}{dt}$  باشد این معادله نیز یک معادله کامل خواهد شد.

قابل توجه است، اینکه ما بجای  $c_f$  بگذاریم  $\frac{dz}{dt}$ ، خللی در جواب ایجاد نمی‌کند زیرا  $z$  و  $t$  دو متغیر

مستقل هستند و اگر ما خود را به این ملزم کنیم که گره‌هایمان روی این خط  $\left( c_f = \frac{dz}{dt} \right)$  باشند

می‌توان بین گره‌ها هر رابطه‌ای را که با استفاده از  $c_f = \frac{dz}{dt}$  حاصل می‌شود، استفاده کرد.

می‌دانیم که در روش تفاضل محدود ابتدا باید یک شبکه بنا کنیم تا مقادیر مجھولات را بتوانیم

روی گره‌های شبکه به صورت گسسته شده در آوریم. شبکه‌ای که در آنجا بنا می‌کردیم یک شبکه کاملاً

دلخواه بود و تنها در صفحه گره‌هایی ایجاد می‌کردیم که بتوانیم معادلات را گسسته سازی کنیم. اما در

اینجا باید گره‌ها (مجھولات) را روی شبکه‌ای در نظر بگیریم که بین  $\Delta z$ ,  $\Delta t$ ,  $\Delta z$  اش رابطه  $c_f = \frac{dz}{dt} = \frac{\Delta z}{\Delta t}$

حاکم باشد. بنابراین در اینجا دیگر نمی‌توان نقاط را در یک فضای  $t-z$  دلخواه پخش کرد و بینشان

رابطه برقرار کرد. بلکه باید حتماً نقاط را روی دسته خطوطی که عبارت دیفرانسیلی  $c_f = \frac{dz}{dt}$  تولید

می‌کند، گستراند.

همچنین در معادله دوم(۱۵-۴) مشاهده می‌شود که اگر  $c_f = -\frac{dz}{dt}$  باشد، این معادله نیز یک معادله کامل خواهد شد. و به این ترتیب با رعایت در نظر گرفتن گره‌ها روی  $c_f$  ، می‌توان گسسته‌سازی را برای معادله دیفرانسیلی کاملی که حاصل می‌شود انجام داد.

با توجه به مطالب گفته شده می‌توان نوشت:

$$\text{if } c_f = \frac{dz}{dt} \rightarrow \frac{g}{c_f^2} \frac{dH}{dt} + \frac{1}{c_f} \frac{dV}{dt} + \frac{fV|V|}{2Dc_f} + \frac{3\rho_f g D}{4e} \frac{\partial I_H^c}{\partial t} - \frac{\rho_f g D}{36ek_0^2} \frac{\partial I_H^r}{\partial t} = 0 \quad (17-4)$$

$$\text{if } c_f = \frac{dz}{dt} \rightarrow \frac{g}{c_f^2} \frac{dH}{dt} - \frac{1}{c_f} \frac{dV}{dt} - \frac{fV|V|}{2Dc_f} + \frac{3\rho_f g D}{4e} \frac{\partial I_H^c}{\partial t} - \frac{\rho_f g D}{36ek_0^2} \frac{\partial I_H^r}{\partial t} = 0 \quad (18-4)$$

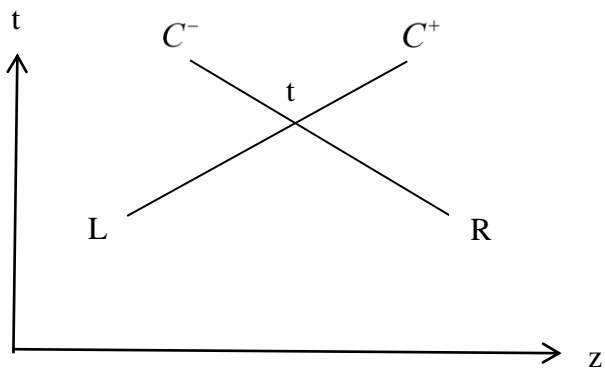
قبل از اقدام به گسسته سازی معادله (۱۷-۴) و (۱۸-۴) ابتدا آن را بر حسب  $Q$  می‌نویسیم . این کار را به این دلیل انجام می‌دهیم تا در نقاط تغییر قطر (گره‌هایی که بین دو لوله با قطر متفاوت قرار دارند) یک دبی داشته باشیم (اگر رابطه سازی بر حسب سرعت باشد در گره تغییر قطر دو سرعت می‌شود در نظر گرفت).

به این ترتیب روابط (۱۷-۴) و (۱۸-۴) بر حسب  $Q$  (دبی) به صورت (۱۹-۴) و (۲۰-۴) تبدیل می‌شوند.

$$C = \frac{dz}{dt} \rightarrow \frac{g}{c_f^2} \frac{dH}{dt} + \frac{1}{c_f A} \frac{dQ}{dt} + \frac{fQ|Q|}{2DA^2 c_f} + \frac{3\rho_f g D}{4e} \frac{\partial I_H^c}{\partial t} - \frac{\rho_f g D}{36ek_0^2} \frac{\partial I_H^r}{\partial t} = 0 \quad (19-4)$$

$$C = -\frac{dz}{dt} \rightarrow \frac{g}{c_f^2} \frac{dH}{dt} - \frac{1}{c_f A} \frac{dQ}{dt} - \frac{fQ|Q|}{2DA^2 c_f} + \frac{3\rho_f g D}{4e} \frac{\partial I_H^c}{\partial t} - \frac{\rho_f g D}{36ek_0^2} \frac{\partial I_H^r}{\partial t} = 0 \quad (20-4)$$

حال معادله (۱۹-۴) را روی خط  $C^+$  گسسته‌سازی می‌کنیم. (شکل (۱-۴))



شکل (۱-۴) : خطوط مشخصه در صفحه  $z-t$

$$\frac{g}{c_f^2} \cdot \frac{H(t) - H_L}{\Delta t} + \frac{1}{c_f A} \cdot \frac{Q(t) - Q_L}{\Delta t} + \frac{fQ(t)|Q_L|}{2DA^2 c_f} + \frac{3\rho_f g D}{4e} (a_1^c H(t) + a_2^c) - \frac{\rho_f g D}{36ek_0^2} (a_1^r H(t) + a_2^r) = 0 \quad \Rightarrow \quad (21-4)$$

$$\frac{Ag}{c_f} \cdot \frac{H(t) - H_L}{\Delta t} + \frac{Q(t) - Q_L}{\Delta t} + \frac{fQ(t)|Q_L|}{2DA} + \frac{3\rho_f g D}{4e} (a_1^c H(t) + a_2^c) - \frac{\rho_f g D}{36ek_0^2} (a_1^r H(t) + a_2^r) = 0 \quad (21-4)$$

با معرفی ثابت‌های  $R = \frac{f}{2DA}$ ,  $B = \frac{c_f}{gA}$  معادله (۲۱-۴) را می‌توان به صورت (۲۲-۴) نوشت.

(همانطور که گفته شد،  $\Delta x = C \Delta t$  خواهد بود).

$$Q(t) = -BH(t) + BH_L + Q_L + (-RQ_L|Q_L| \Delta t - \frac{3\rho_f g D \Delta x}{4e} (a_1^c H(t) + a_2^c) + \frac{A\rho_f g D \Delta x}{36ek_0^2} (a_1^r H(t) + a_2^r)) = 0 \quad (22-4)$$

برای سادگی در استفاده از این فرمول، آن را به صورت (۲۳-۴) می‌نویسند.

$$Q(t) = -\frac{B + C_{P_2}''}{1 + C_{P_2}'} H(t) + \frac{Q_L + BH_L + C_{P_1}''}{1 + C_{P_2}'}, C_{P_2}'' = \frac{3A\rho_f g D c_f \Delta t a_1^c}{4e} - \frac{A\rho_f g D c_f \Delta t a_1^r}{36ek_0^2}, C_{P_2}' = R|Q_L| \Delta t, \\ C_{P_1}'' = -\frac{3A\rho_f g D c_f \Delta t a_2^c}{4e} + \frac{A\rho_f g D c_f \Delta t a_2^r}{36ek_0^2} \quad (23-4)$$

-۴) رابطه  $\left( \frac{dx}{dt} = \frac{\Delta x}{\Delta t} = -C \right)$   $C^-$  روی خط بهمین ترتیب از گیسته‌سازی معادله (۱۹-۴) به دست خواهد آمد.

$$Q(t) = \frac{B + C''_{N_2}}{1 + C'_{N_2}} H(t) + \frac{Q_R - BH_R + C''_{N_1}}{1 + C'_{N_2}}, C''_{N_2} = C''_{P_2}, C'_{N_2} = R|Q_R|\Delta t, C''_{N_1} = -C''_{P_1} \quad (24-4)$$

معادلات به دست آمده در (۲۳-۴) و (۲۴-۴) که به ترتیب مربوط به گسسته‌سازی روی خطوط  $Q(t), H(t)$  می‌باشند را می‌توان به صورت همزمان حل کرد. در این دو معادله مجهولات  $C^-, C^+$  می‌باشند که پس از حل همزمان معادلات مذکور، بر حسب  $Q_R, Q_L, H_R, H_L$  به دست خواهند آمد.

استریتر برای افزایش دقت محاسبه اثر اصطکاک پیشنهاد کرده که بجای  $|Q_R|Q_R$  از  $|Q(t)|Q(t)$  استفاده شود همچنین بجای  $|Q_L|Q_L$  از  $|Q(t)|Q_L$  استفاده شود. بدیهی است که برای داشتن یک دقت بیشتر، بهتر بود گسسته‌سازی این جمله به صورت غیر صریح<sup>۱</sup> (در زمان آینده) انجام شود یعنی بنویسیم  $|Q(t)|Q(t)$  اما چون  $Q(t)$  مجهول می‌باشد این کار باعث می‌شود که برای هر گره یک دستگاه دو معادله دو مجهولی غیر خطی داشته باشیم اما استفاده از  $|Q_R|Q_R$  در رابطه  $C^-$  و  $H(t), Q(t), Q_L$  ایجاد  $|Q(t)|Q_L$  در رابطه  $C^+$  باعث می‌شود که بدون اینکه دستگاهی غیر خطی از  $|Q(t)|Q_R$  شود، دقت نسبت به حالت کاملاً صریح<sup>۲</sup> افزایشی پیدا کند.

1 - Implicit

2 - fully Explicit

## **فصل پنجم:**

**بررسی صحت مدل ریاضی و  
عددی و ارایه نتایج**

## ۵-۱- آزمایش ایمپریال کالج

در این فصل هدف شرح آزمایش ضربه قوچ انجام شده در آزمایشگاه ایمپریال کالج در انگلستان که برای یک لوله ویسکوالاستیک انجام گرفته است می‌باشد.

این آزمایش در یک سیستم مخزن- لوله- شیر انجام شده است و هدف اصلی آن صحت سنجی مدل‌های ویسکوالاستیک ارایه شده تاکنون [3,6] و بررسی عواملی است که می‌توانند در نتایج فشارها و سرعت‌های حاصله ناشی از یک آزمایش ضربه قوچ تاثیر قابل توجهی داشته باشند. به این منظور یک مدلسازی عددی نظیر این آزمایش که مدل ریاضی و عددی ویسکوالاستیسیته آن بر طبق مدل پیشنهادی کواس و همکاران [4-7] و سوارس و همکاران [6] است، تهیه گردید که با استفاده از آن و یک برنامه بهینه سازی، توابع خزش تطبیقی که نشان دهنده رفتار ویسکوالاستیک دیواره لوله می‌باشند تعیین می‌گردد. بدیهی است که این مدل‌ها به منظور اینکه بتوانند به دقت جهت تحقیق یک اثر خاص به کار گرفته شوند نسبت به مدل‌های کاربردی موجود در سیستم‌های صنعتی، بسیار ساده‌تر خواهند بود. در نهایت از مقایسه نتایج مدل عددی و آزمایشگاهی نتیجه‌گیری شده است که مدل ویسکوالاستیسیته حاضر از دقت خوبی برخوردار است.

در اینجا ضربه قوچ بدون جدایی ستون مایع در یک سیستم لوله پلی اتیلن بررسی می‌شود. این آزمایش که توسط کوواس و همکاران [3-1] انجام شده به آزمایش ایمپریال کالج<sup>۱</sup> معروف است. این آزمایش که به صورت یک سیستم مخزن - لوله - شیر قابل مدلسازی است از یک خط لوله پلی اتیلن به طول ۲۷۷ متر تشکیل شده است. سایر مشخصات این سیستم در جدول (۱-۵) ارایه شده است.

---

<sup>1</sup> Imperial college experiment

جدول (۱-۵) : داده‌های ورودی در آزمایش ایمپریال کالج جهت بررسی ضربه قوچ در یک لوله ویسکوالاستیک.

طول لوله	قطر داخلی لوله	ضخامت دیواره لوله	جرم مخصوص لوله	مدول یانگ	نسبت پواسن	دبی جریان پایدار	هد مخزن	زمان بستن شیر	ضریب اصطکاک
277m	50.6 mm	6.3 mm	5000kg/m <sup>3</sup>	1.43GPa	0.46	1.01l/s	45m	0.09s	0.02

در نقاط ۱، ۵، ۸ متناظر فواصل ۱۱۶.۵، ۱۹۷، ۲۷۱ از مخزن بالا دست دستگاه فشار سنج قرار می‌گیرد تا فشار متناظر این نقاط اندازه گیری شود آنگاه هد فشار بدست آمده با هد فشار محاسبه شده از مدل ریاضی اصلاح شده مقایسه می‌شود تا صحت این مدل اثبات شود.

## ۲-۵- فرایند کالیبراسیون

پارامترهای  $\tau_k$ ,  $\tau_{k^t}$ ,  $J_k$ ,  $N_{KV}$ ,  $E_{R_k}$  مربوط به مدل عددی با استفاده از یک الگوریتم بهینه سازی که در آن تفاوت بین فشارهای محاسبه شده و فشارهای برداشت شده از آزمایش نظیر یک فشارسنج خاص حداقل می‌شوند تعیین می‌شوند. تابع به نام lsqnonlin موجود در جعبه ابزار بهینه سازی برنامه MATLAB که برای حل مسائل غیر خطی حداقل کردن مربعات تهیه شده است در اینجا به کار گرفته می‌شود. در این ابزار بهینه سازی، تابع هدف عبارت است از برداری که درایه‌های آن تفاوت بین مقادیر اندازه گیری شده آزمایشگاهی و مقادیر محاسبه شده از حل عددی در محل شیر می‌باشند. به منظور کاهش تعداد متغیرهای بهینه سازی و بنابراین کاهش زمان انجام بهینه سازی یک فرض مناسب برای پارامترهای  $\tau_k$  انجام می‌شود. در مدل حاضر، مقادیر  $\tau_k$  به صورت ثابت برابر  $\tau_5 = 10\text{ s}$ ,  $\tau_4 = 5\text{ s}$ ,  $\tau_3 = 1.5\text{ s}$ ,  $\tau_2 = 0.5\text{ s}$ ,  $\tau_1 = 0.05\text{ s}$  در سراسر عملیات بهینه سازی در نظر گرفته می‌شوند.  $J_0$  براساس سرعت موج تخمین زده شده، تعیین می‌گردد. سرعت موج را می‌توان طبق رابطه (۳-۵۱) تعیین نمود، اما به علت تغییر سرعت موج در جریان غیر ماندگار در لوله‌های ویسکوالاستیک (اگر چه در مدلسازی عددی از یک مقدار ثابت در کل زمان مدلسازی استفاده می‌شود) محاسبه آن براساس مدول الاستیسیته لوله پلی اتیلن اغلب نمی‌تواند منجر به حصول نتایج خوبی از حل عددی گردد. علاوه بر این، اغلب مدول

الاستیسیته لوله مورد استفاده به طور دقیق توسط کارخانه سازنده داده نمی‌شود بنابراین، به منظور افزایش دقت مدل و سادگی کار بهتر است که آن را با استفاده از نتایج آزمایشگاهی حاصله تعیین نمود. این کار معمولاً با استفاده از مدل عددی تهیه شده بدون در نظر گرفتن اثرات ویسکوالاستیک (زیرا ضرایب مدل ویسکوالاستیک هنوز تعیین نشده اند) به صورت سعی و خطا انجام می‌شود. در این روش نتایج عددی حاصله براساس سرعت موج برآورد شده باستی ماگزیمم (یا مینیمم در صورتی که ضربه قوچ ناشی از باز شدن شیر مورد نظر باشد) فشاری تا حد ممکن نزدیک به نتایج آزمایشگاهی تولید نمایند. چنانچه سیستم بدون اصطکاک باشد این کار به معنای تنظیم سرعت موج به گونه‌ای که فشار جوکوفسکی نظیر آن نزدیک به مشاهدات تجربی باشد است. به عنوان یک روش دیگر سرعت موج را می‌توان از طریق تقسیم فاصله بین دو فشار سنج به زمانی که پیشانی اولین موج فاصله بین آن دو فشار سنج را طی می‌کند تعیین نمود [5]. برای بدست آوردن تابع رهاسازی نظیر آن از رابطه  $J_{\infty} * dE_{R_{\infty}} = 1$  و  $J * dE_R = \frac{1}{s^2}$  که در حوزه لاپلاس به صورت  $\bar{J} \bar{E}_R$  نوشته می‌شود استفاده می‌کنیم [14]. بنابراین متغیرهای باقیمانده جهت بهینه سازی  $J_k$  و  $E_{R_k}$  و  $\tau_k$  ها خواهند بود.

رفتار ویسکوالاستیک نسبت به عواملی مانند دما، شرایط تکیه گاهی و یکنواخت نبودن مواد لوله بسیار حساس است بهمین منظور مطمئن ترین راه برای بدست آوردن توابع خرش تطبیقی استفاده از انجام آزمایش ضربه قوچ و کالیبره نمودن آنهاست. در اینجا نیز کوواس و همکاران [1-7] ضرایب توابع خرش تطبیقی را با انجام تست‌های ضربه قوچ و نه تست‌های خوشی بدست آورده‌اند. این نتایج در مقاله آنها برای آزمایش‌های مختلف با شرایط مختلف جریان پایدار ارایه شده اند.

### ۳-۵- صحبت سنجی با استفاده از مقایسه با مدل مرجع

ضرایب کالیبره شده توابع کرنش خوشی و ضرایب تابع رهاسازی بدست آمده از ضرایب تابع خرش طابقی در آزمایش ایمپریال کالج برای هر دو دبی جریان  $Q_0=0.056 \text{ l/s}$  و  $Q_0=1.01 \text{ l/s}$  در جدول (۳-۵) و (۳-۶) با فرض مدول بالک  $1.7 \times 10^9 \text{ Pa}$  و نسبت پواسن اولیه برابر ۰.۳۶ ارایه شده اند.

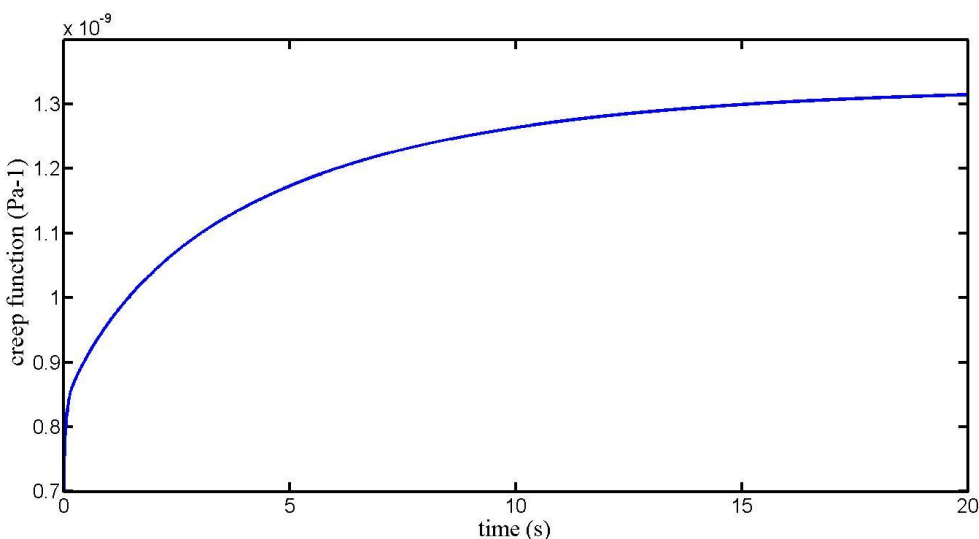
جدول (۳-۵) : ضرایب کالیبره شده توابع کرنش خوشی در آزمایش ایمپریال کالج

تعداد المان کلوین- ویت	$\tau_k (s)$ ، $J_0 = 7 \times 10^{-10} \text{ Pa}^{-1}$ ، $J_k (10^{-10} \text{ Pa}^{-1})$				
5	$\tau_1=0.05 \text{ s}$	$\tau_2=0.5 \text{ s}$	$\tau_3=1.5 \text{ s}$	$\tau_4=5 \text{ s}$	$\tau_5=10 \text{ s}$
	1.338	0.143	1.091	3.083	0.631

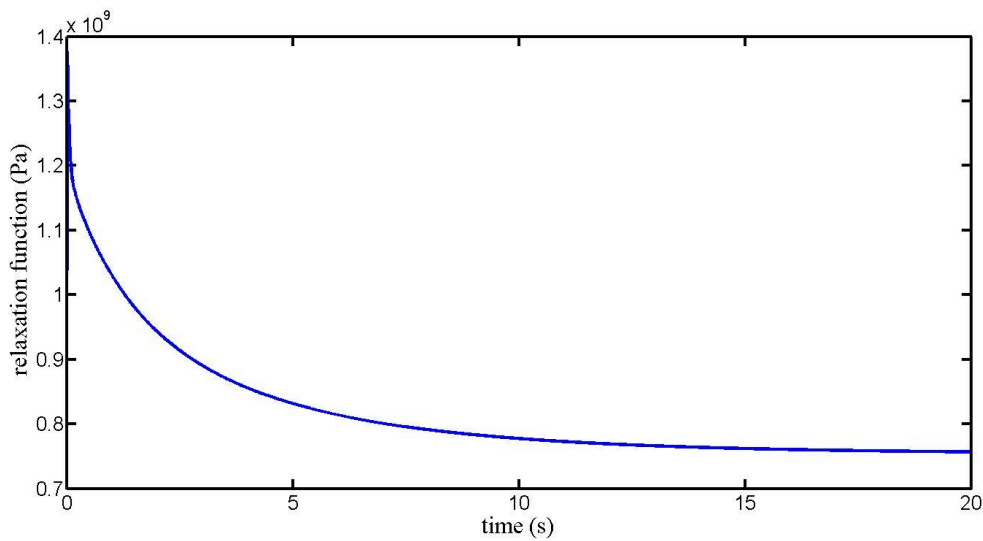
جدول (۳-۶) : تابع رهاسازی بدست آمده از ضرایب تابع خرش طابقی در آزمایش ایمپریال کالج

تعداد المان کلوین- ویت	$E_R (10^8 \text{ Pa})$ ، $E_{R_\infty} = 7.5267 \times 10^8 \text{ Pa}$ ، $\tau_k^r (s)$				
5	$\tau_1^r=0.0419$	$\tau_2^r=0.4908$	$\tau_3^r=1.3081$	$\tau_4^r=3.8153$	$\tau_5^r=9.6252$
	2.330	0.2428	1.6696	2.2861	0.2275

همچنین نمودارهای تابع خرش طابقی و تابع رهاسازی نسبت به زمان در شکل (۱-۵) و (۳-۶) ترسیم شده اند.

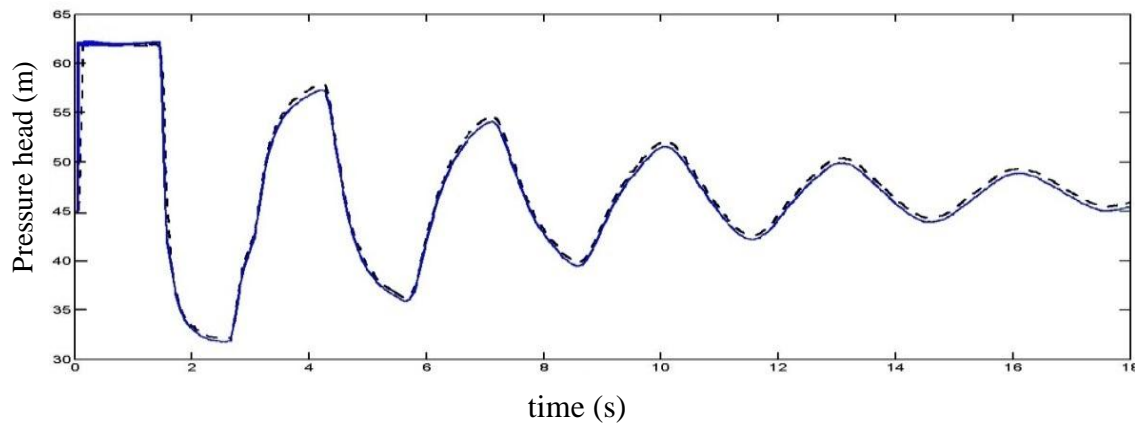


شکل (۱-۵) : منحنی خرش طابقی در لوله ویسکوالاستیک بدست آمده از مدل جدید بر اساس نتایج آزمایشگاهی آزمایش ایمپریال کالج

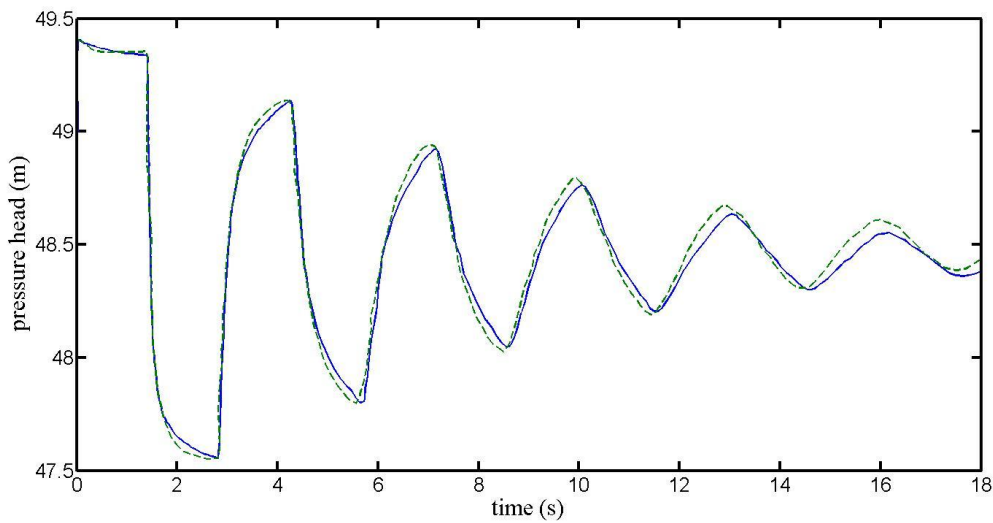


شکل (۲-۵) : منحنی تابع رهاسازی بدست آمده از خوش تطابقی در لوله ویسکوالاستیک بدست آمده از مدل جدید بر اساس نتایج آزمایشگاهی آزمایش ایمپریال کالج

داده های جدول (۳-۵) همراه با جدول (۱-۵) و (۲-۵) جهت انجام آنالیز ضربه قوچ در سیستم مذکور در این مدل ریاضی برای هر دو نوع جریان به کار گرفته می شود. نتیجه در فاصله ۲۷۱ متری از مخزن بالا دست در شکل (۳-۵) که مربوط به  $Q_0=1.01 \text{ l/s}$  و شکل (۴-۵) مربوط به  $Q_0=0.056 \text{ l/s}$ ، با داده های آزمایشگاهی ارائه شده (Covas et al 2004a, 2005) مقایسه شده اند [4-7] .



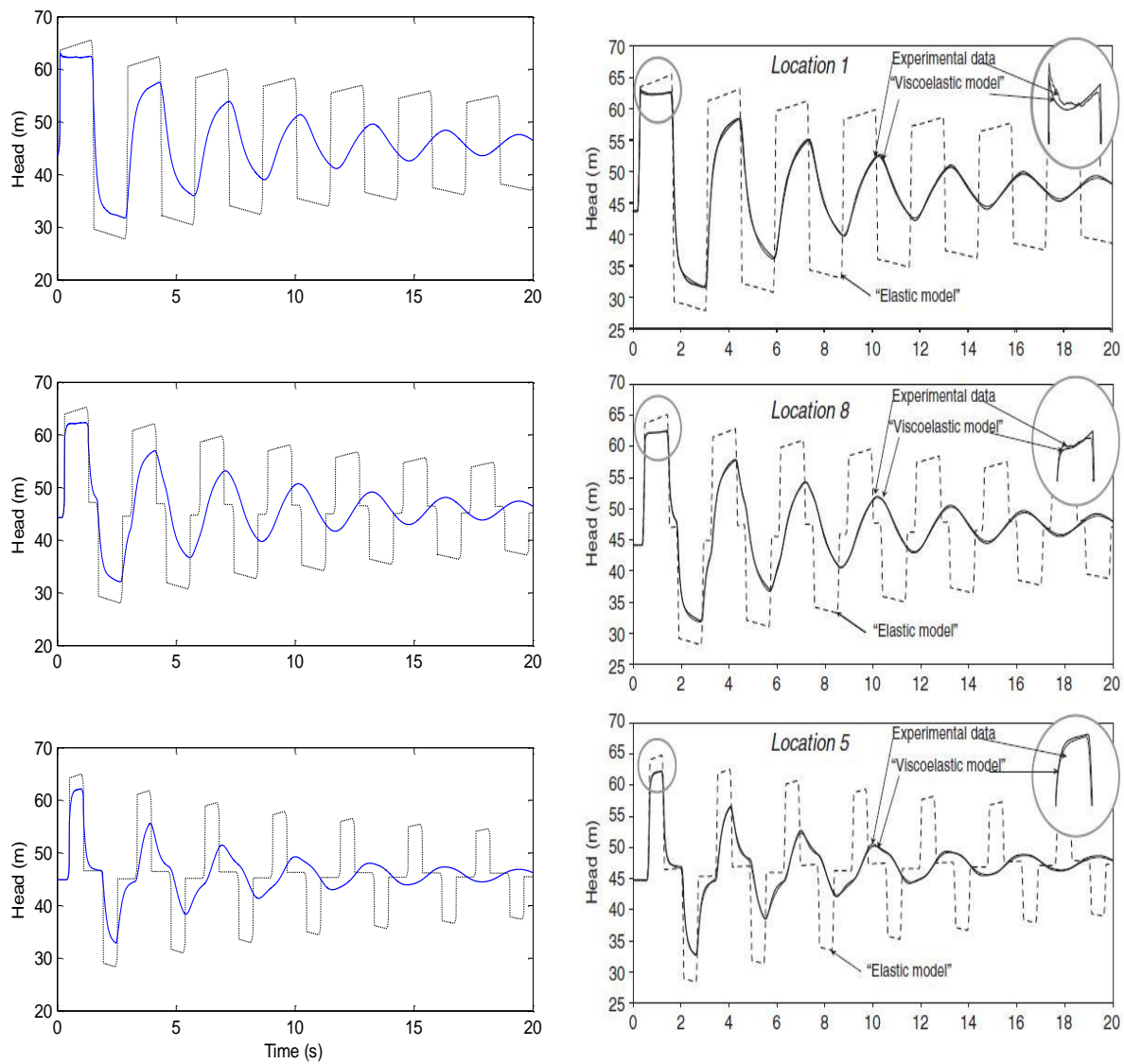
شکل (۳-۵) : نتایج هد در محل شیر بالا دست در آزمایش ایمپریال کالج. نمودار پیوسته: نتایج حل با روش مدل ریاضی ارایه شده ، نمودار خط چین: دیتای آزمایشگاهی سوارس (  $Q_0=1.01 \text{ l/s}$  )



شکل (۴-۵) : نتایج هد در محل شیر بالادست در آزمایش ایمپیریال کالج. نمودار پیوسته : نتایج حل با روش مدل ریاضی ارایه شده، نمودار خط چین : دیتای آزمایشگاهی سوارس ( $Q_0=0.056 \text{ l/s}$ )

همانظور که مشاهده می‌شود جوابها از دقت رضایت بخش برخوردار می‌باشند که این امر نشان دهنده صحیح بودن مدلسازی انجام شده است. در حقیقت مدل پیشنهاد شده، مدل اصلاح شده مدل‌های ریاضی ضربه قوچ در لوله‌های ویسکوالاستیک می‌باشد. قابل ذکر است که در این مدل آزمایشگاهی تمام لوله‌ها در طول خود به یک دیوار قائم به صورت کاملاً صلب متصل شده‌اند به گونه‌ای که امکان هیچگونه حرکت محوری وجود نخواهد داشت.

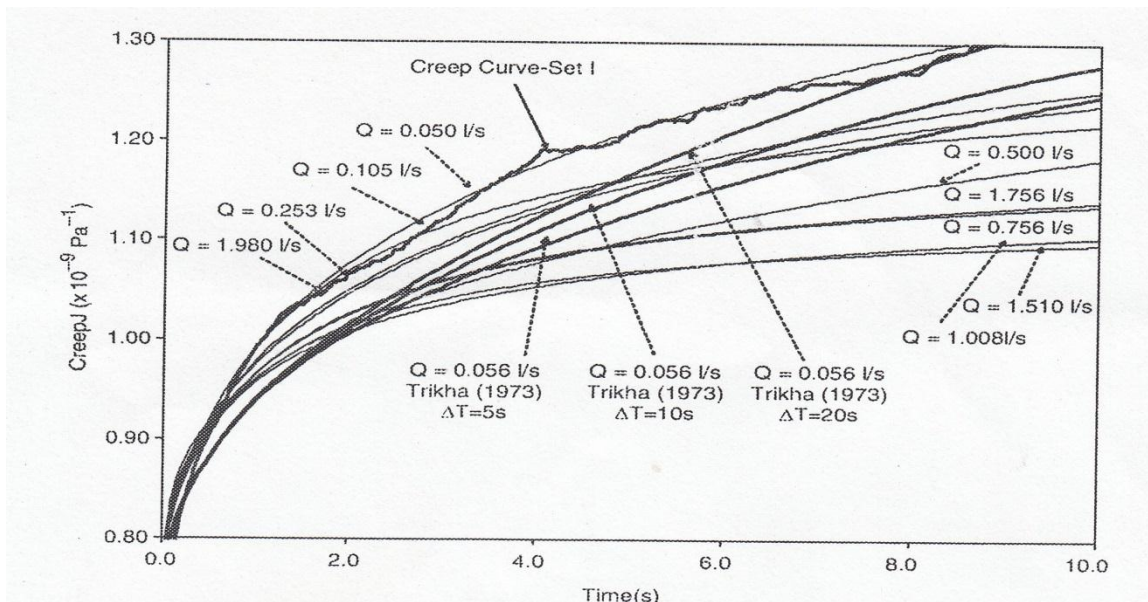
همچنین نتایج در نقاط ۱، ۵، ۸ متناظر فواصل ۱۹۷، ۲۷۱، ۱۱۶.۵ متری از مخزن بالا دست در شکل (۶-۵) با نتایج ارایه شده در مرجع [6] مقایسه شده اند. همانظور که مشاهده می‌شود در هر سه نقطه جوابها کاملاً یکسان می‌باشند و همچنین خطوط خط چین نتایج ضربه قوچ کلاسیک را در لوله الاستیک نشان میدهد.



شکل (۵-۵) : مقایسه نتایج هد در ۳ نقطه متفاوت در حالت آنالیز با در نظر گرفتن اثر ویسکوالاستیک راست: نتایج کوواس و همکاران [۶]، چپ: نتایج تحقیق حاضر.

#### ۴-۵- مقایسه منحنی خزش تطابقی بدست آمده از مدل ریاضی ارائه شده با مدل‌های قبلی

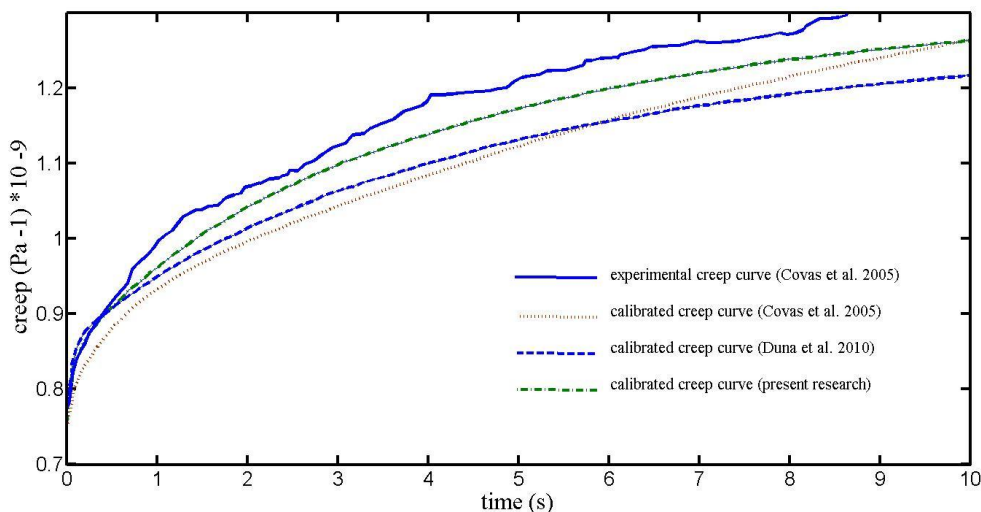
یکی از مشخصات مواد ویسکوالاستیک، خزش آن می‌باشد که به دبی جریان و سیستم غیر وابسته است. این خصوصیت مواد ویسکوالاستیک، به کمک آزمایش مکانیکی (تست خزش) در آزمایشگاه بدست می‌آید. بنابراین، در یک مدل ریاضی مناسب، به وسیله نمودار خزش بدست آمده از آزمایش مکانیکی در آزمایشگاه، نمودار پیوسته آبی در شکل ۷-۵، برای پیش‌بینی نتایج آزمایشگاهی ضربه قوچ برای انواع جریان‌ها استفاده می‌شود.



شکل ۶: منحنی خزش تطابقی مدل کواس برای انواع دبی جریان [۶-۷]

در سال ۲۰۰۵ کواس [۶-۷]، مدل ریاضی که ارائه داد قادر به پیش‌بینی نتایج آزمایشگاهی ضربه قوچ برای انواع جریان‌ها با استفاده از نمودار خزش بدست آمده از آزمایش مکانیکی نبود. همانطور که مشاهده می‌کنید در شکل (۶-۵)، برای بدست آوردن نتایج آزمایشگاهی ضربه قوچ توسط مدلش باید برای هر دبی یک تابع خزش بدست می‌آورد.

در مدل دوآن که در سال ۲۰۱۰ [8] این مدل را ارائه داد که منحنی خزش تطابقی آن بصورت خط چین آبی در شکل (۷-۵) نمایش داده شده است، به کمک یک منحنی خزش تطابقی، می‌توان با دقت خوبی نتایج آزمایشگاهی ضربه قوچ را برای انواع دبی‌ها پیش‌بینی کرد اما منحنی خزش تطابقی بدست آمده از آن با منحنی خزش تست مکانیکی تطابق قابل قبولی ندارد.



شکل (۷-۵) : مقایسه منحنی خزش بدست آمده از تست مکانیکی منحنی خزش تطابقی کواس، دوآن و مدل ارائه شده

می‌توان در شکل (۳-۵) و شکل (۴-۵) نتایج هد پیزومتریک بدست آمده از مدل ریاضی ارائه شده را با نتایج آزمایشگاهی در دسترنس مقایسه کرد. تطابق بسیار خوبی بین نتایج آزمایشگاهی و عددی برای هر دو دبی جریان مشاهده می‌شود. این در حالی است که نتایج بدست آمده برای هر دو جریان بوسیله یک منحنی خزش تطابقی بدست آمده است. به علاوه، منحنی خزش تطابقی بدست آمده بر اساس مدل ریاضی ارائه شده به منحنی خزش بدست آمده از تست خزش نزدیک و تطابق قابل قبولی دارد.

## فصل ششم: خلاصه

و

نتیجه گیری

## ۱-۶- خلاصه

ضربه قوچ نوعی جریان میرا است که در خطوط لوله می‌تواند در اثر بسته شدن شیرها یا توقف ناگهانی پمپ ایجاد شود. در مواد ویسکوالاستیک، در اثر بارگذاری وارد بر آنها، یک تغییر شکل اضافی (تاخیری)، علاوه بر تغییر شکل ایجاد شده بلافاصله پس از بارگذاری ایجاد می‌شود. مدل‌های ریاضی ارائه شده پیشین در مطالعه ضربه قوچ در لوله‌های ویسکوالاستیک، نسبت پواسن را نیز ثابت فرض می‌کردند. در حالیکه در مدل ریاضی اصلاح شده حاضر، نسبت پواسن متغیر در نظر گرفته می‌شود که منجر به نتایجی با دقت بالاتر در آنالیزهای ضربه قوچ می‌شود.

به طور کلی مدل جدید ارائه شده به رفتار فیزیکی لوله‌های ویسکوالاستیک نزدیکتر است زیرا مطابق گزارشات ارائه شده نیز در رفتار پلیمرها، معمولاً در طول یک بارگذاری تغییرات مدول بالک به مراتب از تغییرات نسبت پواسن کمتر است لذا استفاده از یک مدل تنش-کرنش که دارای مدول بالک ثابتی باشد ولی تغییرات نسبت پواسن را بتواند در خود جای دهد به واقعیت نزدیک بوده و چنانچه از آن جهت توسعه مدل ریاضی ضربه قوچ به کار رود مدل کاملتری خواهیم داشت.

در این تحقیق مدل ریاضی در لوله ویسکوالاستیک خطی گسترش یافته است. به علت در نظر گرفتن نسبت پواسن متغیر، ترم کرنش محیطی در معادله پیوستگی ضربه قوچ شامل توابع خزش و رهاسازی می‌باشد در حالیکه در مدل ریاضی که نسبت پواسن ثابت در نظر گرفته شده باشد، ترم کرنش محیطی در معادله پیوستگی ضربه قوچ فقط قوچ شامل تابع خزش می‌باشد. معادله پیوستگی شامل دو انتگرال کانولوشن می‌باشد که به کمک معادلاتی این دو انتگرال تقریب زده می‌شوند. سپس مدل ریاضی مذکور با روش عددی خطوط مشخصه حل شده و در نهایت با استفاده از نتایج آزمایشگاهی معتبر موجود صحت سنجی گردیده است.

از مقایسه پاسخ بدست آمده از مدل ریاضی گسترش یافته با داده های آزمایشگاهی نتیجه می شود که به وسیله یک منحنی خرش تطبیقی، می توان با دقت خوبی نتایج آزمایشگاهی ضربه قوچ را برای انواع دبی ها بدست آورد.

## ۲-۶- نتیجه گیری

از مطالعه در زمینه پدیده ضربه قوچ در لوله های ویسکوالاستیک (هدف این رساله) می توان به نتایجی کلی که در زیر ارائه شده اند رسید.

-۱ در حالت آنالیز ضربه قوچ به تنها یی، میرایی موج که ناشی از رفتار ویسکوالاستیک دیواره

لوله می باشد به خوبی با مدل ریاضی ارایه شده قابل شبیه سازی است به طوریکه هماهنگ قابل قبولی بین نتایج عددی و آزمایشگاهی وجود دارد.

-۲ مشخصات ویسکوالاستیک لوله به نوع جریان و سیستم غیر وابسته می باشد. یکی از این

مشخصات ویسکوالاستیک، خرش آن می باشد که بوسیله آزمایش مکانیک بدست می آید.

در این مدل ریاضی، تابع خرش تطبیقی بدست آمده تطابق خوبی را با خرش بدست آمده از تست خرش دارد.

-۳ از این مدل می توان با در نظر گرفتن یک تابع خرش تطبیقی واحد برای انواع دبی های

جریان، نتایج عددی خوبی بدست آورد در حالیکه در مدل کواس به دلیل تغییر دبی

جریان باید تابع خرش را نیز کالیبره کرد و سپس از تابع خرش کالیبره شده نسبت به آن

دبی جریان می توان به نتایج آزمایشگاهی رسید.

### ۳-پیشنهادات

۱- ارائه یک مدل ریاضی ضربه قوچ در لوله های ویسکوالاستیک غیر خطی. تمامی آنچه در این رساله ارایه شد برای لوله های ویسکوالاستیک خطی می باشدند که اگر چنین فرضی صورت بگیرد تابع خزش تطابقی علاوه بر آنکه تابع زمان می باشد، تابع تنش نیز قرار می گیرد.

۲- حل معادلات ضربه قوچ در شبکه های لوله در این پژوهش از دیدگاه حوزه زمان بدست آمده است که این معادلات می توانند در حوزه فرکانس نیز حل شوند. در مسایل ویسکوالاستیک چنانچه حل فرکانسی مورد نظر باشد باید معادله دیفرانسیل حاکم در حوزه لاپلاس نوشته شود که معمولاً از آن میتوان حل دقیق را در حوزه لاپلاس به دست آورد.

۳- روش خطوط مشخصه برای تحلیل جریان غیرماندگار روش بسیار دقیقی است ولی محدودیت هایی دارد. یکی از این محدودیتها نسبت  $\frac{\Delta x}{\Delta t}$  است که باید همواره برابر با سرعت موج در لوله باشد. در یک خط لوله تنها، می توان  $\Delta x$  را طوری انتخاب کرد که کل لوله به قطعات مساوی تقسیم شود و مقدار  $\Delta t$  را بر طبق آن تعیین نمود. در اینجا ممکن است طول لوله به گونه ای باشد که در تقسیم بندی لوله به بازه های  $\Delta x$ ، قطعه ای از لوله مقدار کمتری پیدا کند. در این حالت استفاده از اینترپولاسیون می تواند خطای بسیار زیادی وارد محاسبات کند. برای رفع این مشکل می توان روش های پیشنهادی مختلفی مانند روش احجام محدود گودونو را به کار برد.

۴- بررسی پدیده ضربه قوچ در لوله های ویسکوالاستیک با جداره ضخیم و مقایسه نتایج با حالت لوله جدار نازک. در نظر گرفتن این فرض باعث می شود تنش شعاعی از معادلات پیوستگی حذف نشود و معادله پیوستگی پیچیده تر شود.

۵- ارائه یک مدل ریاضی ضربه قوچ در لوله های ویسکوالاستیک با فرض متغیر بودن مدول بالک لوله و همچنین متغیر بودن نسبت پواسن فرض شود. این فرض سبب تغییراتی در کرنش محیطی می گردد که کرنش محیطی شامل توابع انتگرال کانولوشن دوگانه و سه گانه می شود.

پیوست

## اثبات رابطه تقریب برای انتگرال کانولوشن

اگر انتگرال کانولوشن به صورت زیر تعریف شود:

$$f_k(t) = \frac{J_k}{\tau_k} \int_0^t g(t-s) e^{\frac{-s}{\tau_k}} ds$$

فرمول زیر، تقریب بسیار خوبی برای انتگرال کانولوشن ارایه می‌نماید که با استفاده از یک رابطه

برگشتی پیاده‌سازی می‌شود:

$$f_k(t) \approx g(t) \left( J_k + \frac{J_k \tau_k}{\Delta t} \left( e^{\frac{-\Delta t}{\tau_k}} - 1 \right) \right) + g(t - \Delta t) \left( -J_k e^{\frac{-\Delta t}{\tau_k}} - \frac{J_k \tau_k}{\Delta t} \left( e^{\frac{-\Delta t}{\tau_k}} - 1 \right) \right) + e^{\frac{-\Delta t}{\tau_k}} f_k(t - \Delta t)$$

فرمول مذکور طی مراحل زیر اثبات می‌شود.

$$f_k(t) = \frac{J_k}{\tau_k} \int_0^t g(t-s) e^{\frac{-s}{\tau_k}} ds$$

$$= \underbrace{\frac{J_k}{\tau_k} \int_0^{\Delta t} g(t-s) e^{\frac{-s}{\tau_k}} ds}_{A} + \underbrace{\frac{J_k}{\tau_k} \int_{\Delta t}^t g(t-s) e^{\frac{-s}{\tau_k}} ds}_{B}$$

$$A = \frac{J_k}{\tau_k} \int_0^{\Delta t} g(t-s) e^{\frac{-s}{\tau_k}} ds$$

$$= -\frac{J_k}{\tau_k} \int_t^{t-\Delta t} g(y) e^{\frac{y-t}{\tau_k}} dy = \frac{J_k}{\tau_k} e^{\frac{-t}{\tau_k}} \int_{t-\Delta t}^t g(y) e^{\frac{y}{\tau_k}} dy$$

$$= \frac{J_k}{\tau_k} e^{\frac{-t}{\tau_k}} \left( g(y) \tau_k e^{\frac{y}{\tau_k}} \Big|_{t-\Delta t}^t - \int_{t-\Delta t}^t \frac{\partial g(y)}{\partial y} \tau_k e^{\frac{y}{\tau_k}} dy \right)$$

$$= \frac{J_k}{\tau_k} e^{\frac{-t}{\tau_k}} \left( g(t) \tau_k e^{\frac{t}{\tau_k}} - g(t-\Delta t) \tau_k e^{\frac{t-\Delta t}{\tau_k}} - \int_{t-\Delta t}^t \frac{\partial g(y)}{\partial y} \tau_k e^{\frac{y}{\tau_k}} dy \right)$$

$$\approx \frac{J_k}{\tau_k} e^{\frac{-t}{\tau_k}} \left( g(t) \tau_k e^{\frac{t}{\tau_k}} - g(t-\Delta t) \tau_k e^{\frac{t-\Delta t}{\tau_k}} - \tau_k \dot{g}(t-\Delta t) \int_{t-\Delta t}^t e^{\frac{y}{\tau_k}} dy \right)$$

$$\approx \frac{J_k}{\tau_k} e^{\frac{-t}{\tau_k}} \left( g(t) \tau_k e^{\frac{t}{\tau_k}} - g(t-\Delta t) \tau_k e^{\frac{t-\Delta t}{\tau_k}} - \tau_k \dot{g}(t-\Delta t) \left[ \tau_k e^{\frac{y}{\tau_k}} \right]_{t-\Delta t}^t \right)$$

$$\approx \frac{J_k}{\tau_k} e^{\frac{-t}{\tau_k}} \left( g(t) \tau_k e^{\frac{t}{\tau_k}} - g(t-\Delta t) \tau_k e^{\frac{t-\Delta t}{\tau_k}} - \tau_k^2 \left( \frac{g(t) - g(t-\Delta t)}{\Delta t} \right) \left( e^{\frac{t}{\tau_k}} - e^{\frac{t-\Delta t}{\tau_k}} \right) \right)$$

$$\approx J_k g(t) - J_k g(t-\Delta t) e^{\frac{-\Delta t}{\tau_k}} - J_k \tau_k \left( \frac{g(t) - g(t-\Delta t)}{\Delta t} \right) \left( 1 - e^{\frac{-\Delta t}{\tau_k}} \right)$$

$$\approx g(t) \left( J_k + \frac{J_k \tau_k}{\Delta t} \left( e^{\frac{-\Delta t}{\tau_k}} - 1 \right) \right) + g(t-\Delta t) \left( -J_k e^{\frac{-\Delta t}{\tau_k}} - \frac{J_k \tau_k}{\Delta t} \left( e^{\frac{-\Delta t}{\tau_k}} - 1 \right) \right)$$

$$B = \int_{\Delta t}^t g(t-s) \frac{J_k}{\tau_k} e^{\frac{-s}{\tau_k}} ds = \int_0^{t-\Delta t} g(t-\Delta t-u) \frac{J_k}{\tau_k} e^{\frac{-u-\Delta t}{\tau_k}} ds$$

$$= e^{\frac{-\Delta t}{\tau_k}} \int_0^{t-\Delta t} g(t-\Delta t-u) \frac{J_k}{\tau_k} e^{\frac{-u}{\tau_k}} ds = e^{\frac{-\Delta t}{\tau_k}} f_k(t-\Delta t) \Rightarrow$$

$$f_k(t) = A + B = g(t) \left( J_k + \frac{J_k \tau_k}{\Delta t} \left( e^{\frac{-\Delta t}{\tau_k}} - 1 \right) \right) + g(t-\Delta t) \left( -J_k e^{\frac{-\Delta t}{\tau_k}} - \frac{J_k \tau_k}{\Delta t} \left( e^{\frac{-\Delta t}{\tau_k}} - 1 \right) \right)$$

$$+ e^{\frac{-\Delta t}{\tau_k}} f_k(t-\Delta t)$$

## **منابع**

## منابع فارسی

۱. استریتر، ویکتور ال و واپلی، بنجامین . و بدفورد ، کیچ [ترجمه] ملک زاده ، غلامرضا و کاشانی حصار ، محمد حسین و معتمدی ، غلام محمد ، ویرایش دوم ، انتشارات نما ، مشهد ، ۱۳۷۵ ،
۲. کرامت علیرضا "بررسی پدیده اندرکنش سیال-سازه در سیستمهای لوله ویسکوالاستیک با در نظر گرفتن جدایی ستون مایع " پایان نامه دکترا، دانشگاه صنعتی شاهروود، دانشکده عمران و معماری، شهریور ۱۳۸۹.
۳. کرامت علیرضا "تحلیل دینامیکی شبکه‌های لوله تحت فشار با روش اجزای محدود" پایان نامه کارشناسی ارشد، دانشگاه شهید چمران اهواز، دانشکده مهندسی، بهمن ۱۳۸۴.

## منابع انگلیسی

- [1] Bergant, A., Tijsseling, A., Vítkovsky, J.P., Covas, D., Simpson, A., Lambert, M., 2008a. Parameters affecting water-hammer wave attenuation, shape and timing. Part 1: Mathematical tools. *IAHR Journal of Hydraulic Research* 46, 373–381
- [2] Bergant, A., Tijsseling, A., Vítkovsky, J.P., Covas, D., Simpson, A., Lambert, M., 2008b. Parameters affecting water-hammer wave attenuation, shape and timing. Part 2: Case studies. *IAHR Journal of Hydraulic Research* 46, 382–391.
- [3] Brinson, H.F., Brinson, L.C., 2008. *Polymer engineering science and viscoelasticity: an introduction*, Springer
- [4] Covas, D., Stoianov, I., Mano, J., Ramos, H., Graham, N., Maksimovic, C., 2004a. The dynamic effect of pipe-wall viscoelasticity on hydraulic transients. Part I Experimental analysis and creep characterization. *IAHR Journal of Hydraulic Research* 42, 516–530.
- [5] Covas, D., Stoianov, I., Mano, J., Ramos, H., Graham, N., Maksimovic, C., 2005. The dynamic effect of pipe-wall viscoelasticity in hydraulic transients. Part II—Model development, calibration and verification. *IAHR Journal of Hydraulic Research* 43, 56–70.
- [6] Covas, D., Stoianov, I., Ramos, H., Graham, N., Maksimovic, C., Butler, D., 2004. Water hammer in pressurized polyethylene pipes: conceptual model and experimental analysis. *Urban Water Journal*. 1(2), 177–197
- [7] Covas, D., Stoianov, I., Ramos, H., Graham, N., Maksimovic, C., Butler, D., 2004b. Water hammer in pressurized polyethylene pipes: conceptual model and experimental analysis. *Urban Water Journal* 1, 177–197.
- [8] Duan, H.F., Ghidaoui, M., Lee, P.J., Tung, Y.K., 2010. Unsteady friction and visco-elasticity in pipe fluid transients. *IAHR Journal of Hydraulic Research* 48, 354–362. Discussion in 49, 398–403.
- [9] Keramat, A., Tijsseling, A.S., 2012. Waterhammer with column separation, fluid-structure interaction and unsteady friction in a viscoelastic pipe. 11th International Conference on Pressure Surges Lisbon, Portugal, 24-26 October.
- [10] Keramat, A., Tijsseling, A.S., Ahmadi, A., 2010. Investigation of transient cavitating flow in viscoelastic pipes. *IOP Conference Series: Earth and Environmental Science* 12(1), 012081.
- [11] Keramat, A., Tijsseling, A.S., Hou, Q., Ahmadi, A., 2012. Fluid-structure interaction with pipewall viscoelasticity during water hammer. *Journal of Fluids and Structures* 28, 434–455.
- [12] Soares, A.K., Covas, D.I.C., Ramos, H.M., Reis, L.F.R., 2009. Unsteady flow with cavitation in viscoelastic pipes. *International Journal of Fluid Machinery and Systems* 2, 269–277.

- [13] Soares, A.K., Covas, D.I.C., Reis, L.F., 2008. Analysis of PVC pipe-wall viscoelasticity during water hammer. ASCE Journal of Hydraulic Engineering 134, 1389–1394.
- [14] Teishev, A.Y., Malkin, A.Y., 1990. On the relation between relaxation and creep curves of polymers in the range of linear viscoelasticity. Polymer Science U.S.S.R. 32(8), 1669-76
- [15] Wineman, A.S.: Rajagopal K. R., 2000. Mechanical response of polymers: an introduction. Cambridge University Press.

## **Abstract**

Mathematical modeling of piping systems, in which the dynamic behavior of the pipe system are also studied due to water hammer phenomenon, has been studied in recent years. Also consider the many benefits of viscoelastic pipes, these pipes are used in numerous industrial sectors, especially in piping systems is growing rapidly. In viscoelastic materials, the effect of loading on them, an additional deformation ( late ), the deformation is made, immediately after this occurs. The mathematical model presented earlier in viscoelastic study of water hammer in pipes, the Poisson ratio was assumed constant. While the modified mathematical mode, the Poisson ratio of the pipe varies with time is considered.

In this study, first, partial differential equations governing water hammer in pipe systems made of viscoelastic materials is introduced. These equations are derived assuming a Poisson's ratio of pipe varies with time, constant bulk modulus of pipe and thin-walled pipe are done. From the physical point of view, the problem of water hammer, viscoelastic behavior leads to strain in the radial direction of the pipe axis is delayed. Should be noted that the axial strain due to inhibition of delayed pipe in the axial direction is considered to be zero. The differential equations are derived to calculate the strain delay, the convolution integral is used phrases which are calculated using an approximate relationship for good. After specifying the differential equations and initial and boundary conditions, a numerical method of characteristic (MOC) in order to solve the equations in the time domain to be handled.

The results for a certain point of time-pressure in the history of the laboratory results are plotted with the pipe provided in the previous valid reaserches are compared. The results of this study suggest that by taking the Poisson ratio of the viscoelastic pipe varies in mathematical model, provided the answer cause high-precision on the water hammer phenomenon in viscoelastic materials for different discharge using a calibrated creep curves.

**Keywords:** Water hammer, Viscoelastic pipe, Method of Characteristics, variable Poisson's ratio



**Shahrood University of Technology**  
**Faculty of Civil & Architecture Engineering**

**Mathematical Modeling of Waterhammer in Viscoelastic Pipes**

**Arash Ghaffarian Kolahi**

**Supervisor:**

**Dr. Ahmad Ahmadi**

**September 2013**

